

# CaLIPSO

## Calorimètre Liquide Ionisation Position Scintillation Organométallique

Un nouveau Calorimètre pour photons  
énergétiques  
En vue des TEPs  
Mais aussi de la spectrométrie des positrons

D. Yvon, CEA Saclay, IRFU

# Plan de l'exposé

Groupe et collaborateurs

*Principe de la TEP*

*Intérêt Biomédical*

*Principe du détecteur CaLIPSO*

Détection Optique

Propriétés Physiques

Instrumentation et mesure sur détecteur

Détection Ionisation

Propriétés Physiques

Instrumentation du détecteur

Financement

# CaLIPSO à l'IRFU

**C**alorimètre **L**iquide **I**onisation **P**osition **S**cintillation **O**rganométallique



**D. Yvon**

Responsable scientifique



**G. Tauzin**

Chef de projet



**P. Verrecchia**

Physique du détecteur



**S. Sharry**

Physique du détecteur



**X. Mancardi**

Thèse Démons. ionisation



**O. Kolchebina**

Post. Doc. Simu. PET Optimisée



**J.P. Mols**

Mécanique



**P. Starzynski**

Mécanique et Ultra-Vide



**J.P. Bard**

Électronique et labo



**Ph. Abbon**

Elec. Analog. Rapide

**M. Kebbiri**

Techno. Détec. Avancées

? + ?

Thèse Détec. Opt. rapide.

# Colaborateurs

## IRFU SPP et SEDI

Le groupe présenté précédemment

## CNRS IN2P3 – CSNSM

L. Dumoulin, L. Bergé, Cyrille Rosset (O. Kaïtasov), I. Deloncle, (B. Roussièvre)

## CEA/DSV – SHFJ

Sébastien Jan, Claude Comtat et Simon Stute

## CEA/DSM-IRAMIS

J-Ph. Renault

## CEA/DEN - DANS/DPC/SECR

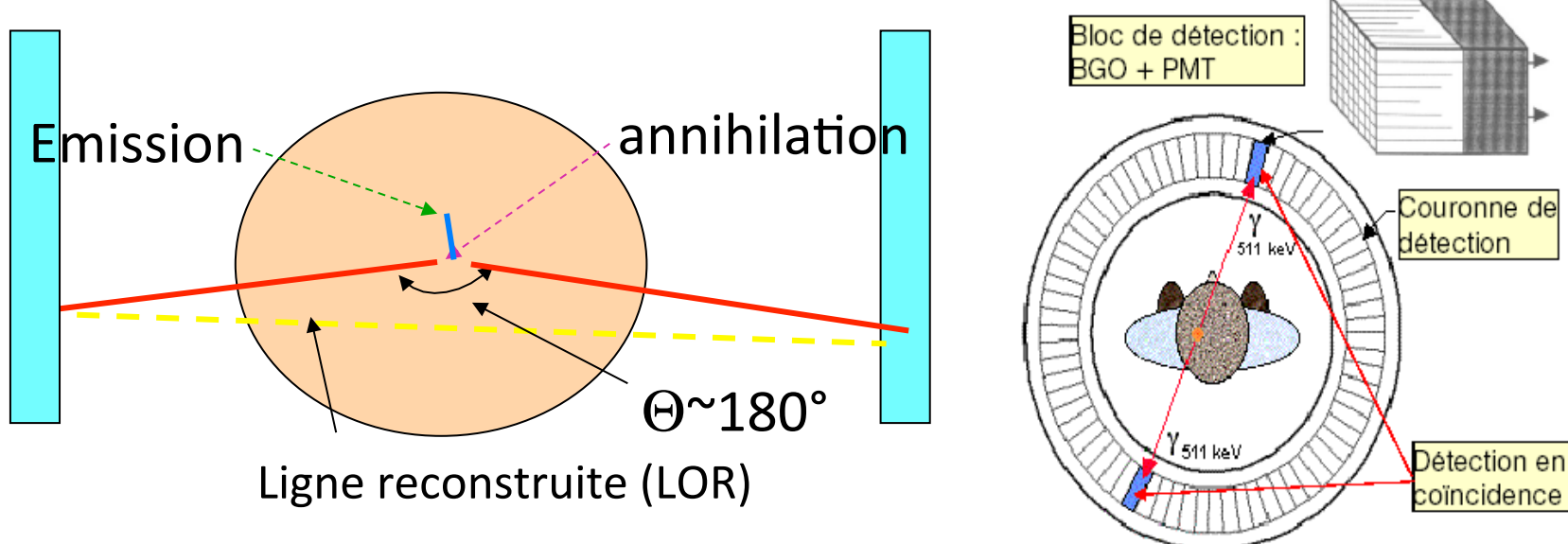
D. Doizi, V. Dauvois, G. Plancque, A. Turban, S. Legan

# Principe de la TEP

- Traceur  $^{18}\text{FDG}$  => fixation sur cellules d'intérêt
- Emission  $\beta^+$ , => annihilation  $\sim \text{qq MHz}$
- Parcours 0,5 mm => 2  $\gamma$  de 511 keV à  $\approx 180^\circ$

Coïncidences:

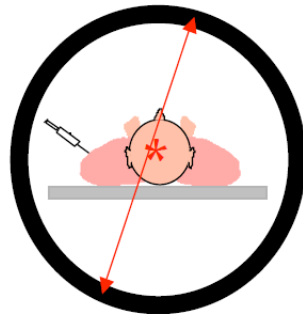
Line Of Response => Reconstruction de l'image



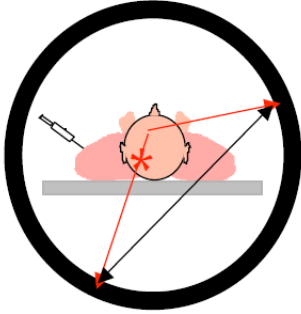
**Calorimètre Liquide Ionisation Position Scintillation Organométallique**

# Mécanismes de Bruits de fonds

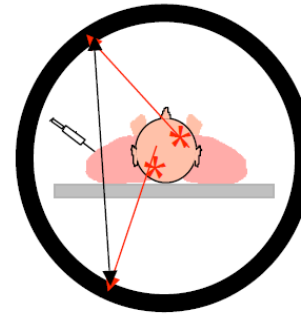
Les signaux reçus en TEP :



- coïncidences vraies
- ⇒ bien localisés sur la ligne de projection
- ⇒ information utile



- coïncidences diffusées
- ⇒ mauvaise localisation
- ⇒ diminution du contraste
- ⇒ biais quantitatif



- coïncidences fortuites
- ⇒ mauvaise localisation
- ⇒ réduction des capacités de comptage
- ⇒ biais quantitatif

*Master RIA - Tomographie d'émission de positons - Irène Buvat – octobre 2010 - 47*

Examen TEP corps adulte : rendement < 6%

**But :** Rejeter fortuites + diffusées

Déetecter efficacement les vraies coïncidences

**Calorimètre Liquide Ionisation Position Scintillation Organométallique**

## Intérêt Biomédical

# Why a Brain PET Scan?

## MRI Assets/Challenges

Visualize the **brain structure**

Matter density.

*Great spatial resolution*

$1 \text{ mm}^3$  full brain  $\rightarrow (50\mu\text{m})^3$  zoom

*Poor sensitivity* to biochemical cellular activity

$\sim 10^{-4}$  mol.

Good blood flow Imaging.

## PET Scans Assets/Challenges

Visualize the **biological activity**

*Modest* spatial resolution

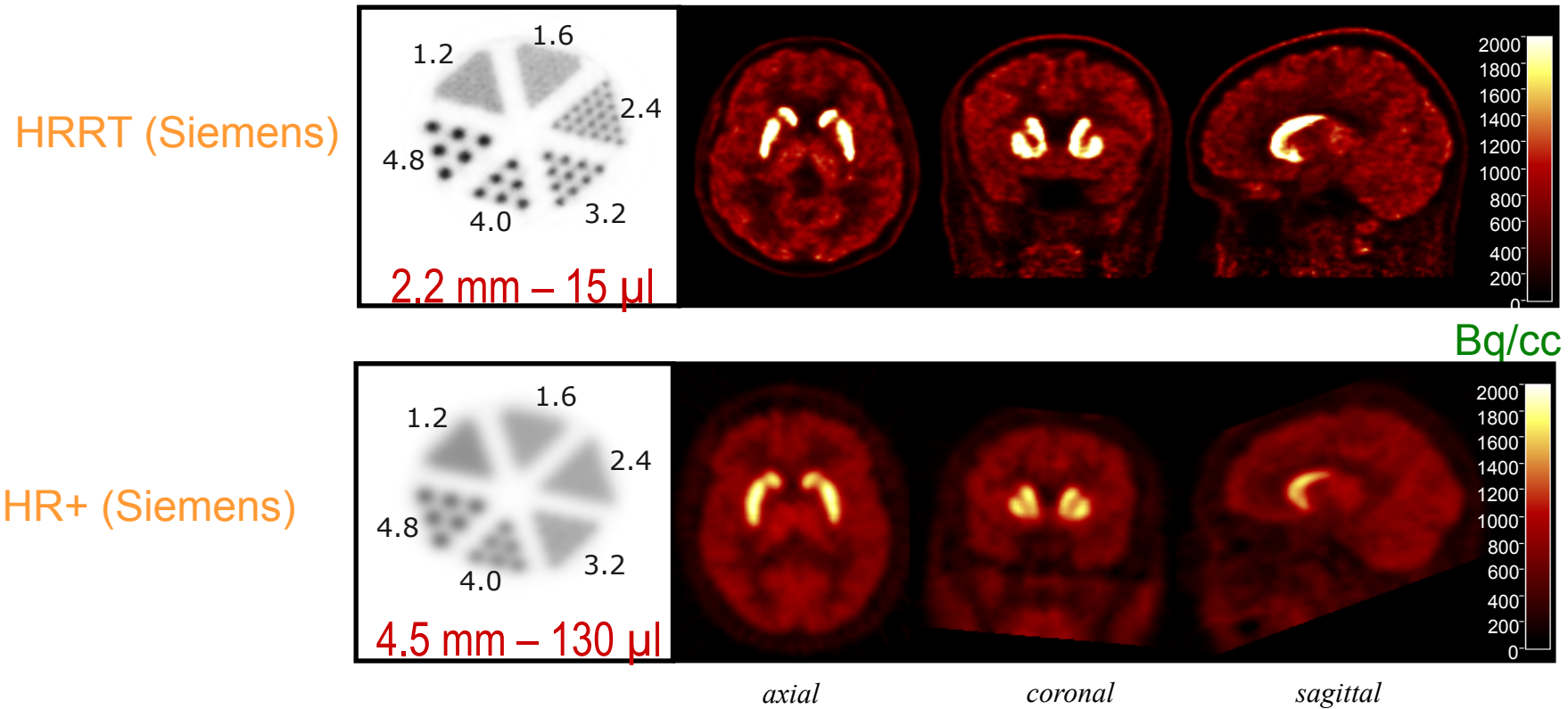
$\sim (2.2 \text{ mm})^3$

*Great Sensitivity* to biochemical cellular activity

Down to  $10^{-12}$  mol.

The patient is irradiated  
**lower** exam **dose welcome**

## Why High resolution Brain PET imaging?



Brain neuro-transmitter work at **very low concentration**

Brain structures are small.

- **Better definition** of the structures of interest in the brain.
- **Better recovery of contrast**
  - Better quantification of regions of interest and biological parameters.

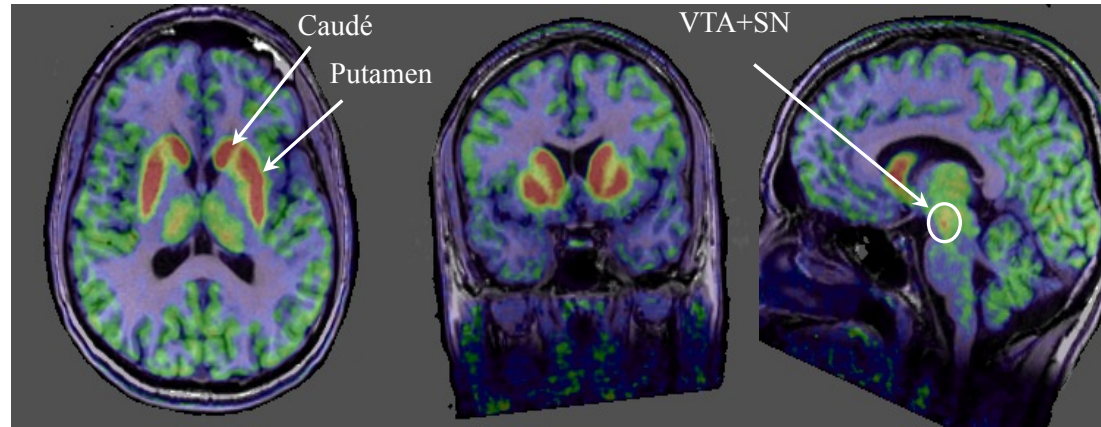
This is our main goal

Leroy *et al*, JNM, 2007<sup>9</sup>

# Medicine with *High Res.* Brain PET imaging ?

C. Leroy, J. Nucl Med 48 (4), 2007 ; FC Sureau, J. Nucl Med 49 (6), 2008

E. Artiges, Psychiatrist  
R. Trebossen,  
R. Boisgard, SHFJ



Access to **fine structures activity**: the substantia nigra (SN),  
basal ganglia

- Fine study of dopaminergic circuits in patient populations

**Cellular biochemistry involved in Neurodegenerative diseases**

- Parkinson's, Huntington, Alzheimer diseases
- **Before any structural effect can be seen.**

Attention Deficit-Hyperactivity, Autism Spectrum Disorders,  
Psychiatric disorders (Bipolar, Addictions ...)

- « See » drugs at work.

## High-Resolution PET, large volume Speeding up drug testing?

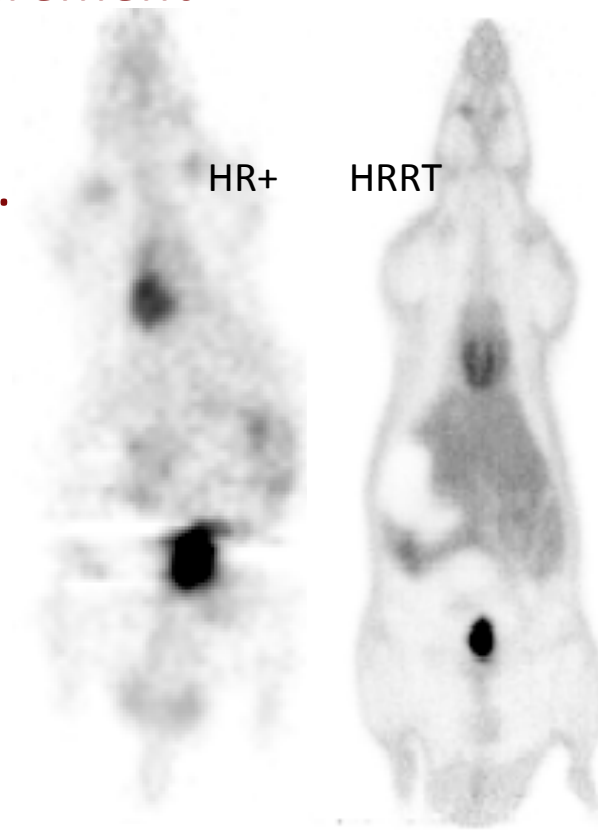
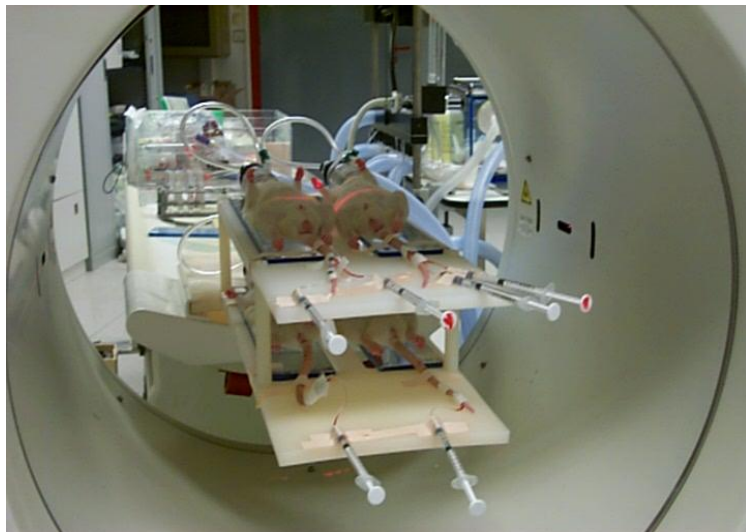
Rodent Model => Measurement of target/drug bioactivity.

But, **variability of radio-tracers** and **biological variability**

*Need to increase statistics in a single measurement*

**Multi-Rodent: simultaneous acquisition**

=> Tracer variability reduced + Save time ( x6 !).



Ph. Hantraye, MIRCEN + R. Trébossen, R. Boisgard, SHFJ

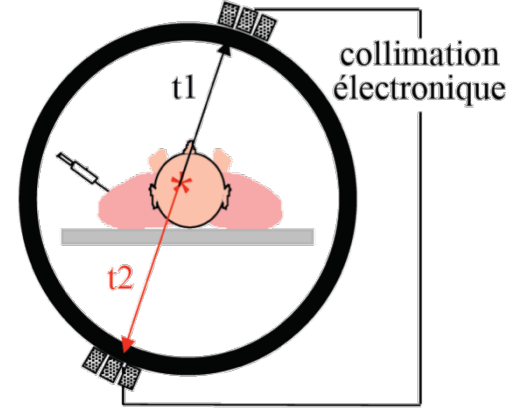
Quel détecteur pour un imageur TEP  
haute résolution?

# Detector Specifications List

## Timing accuracy

Few ns (PET random coincidence)

to few 100 ps (TOF PET, Lifetime Spec.)



## $\gamma$ interaction positioning accuracy

Down to 1mm<sup>3</sup>

(ACAR Spec. – PET High Spatial Res.)

## Detection efficiency

Att. Length : 1 -> few cm

Photoelectric Efficiency: 30% → ??.

## Energy resolution

15% to few % (FWHM)

In vivo scattering rejection (PET-scan)

« Plug and play »

# What are current PET technologies?

<i>Properties Detector</i>	Atten Length (cm)	Coinc . PhotElecE Eff.( %)	Timing Resolution (ps, FWHM)	Energy Resolution (% FWHM)	G Interac. Postion. (mm)	End user friendly
<i>LSO/LYSO</i>	1.23	12	300 - 500	10	10 - 2	YES
<i>LaBr<sub>3</sub></i>	2.3	1.9	100 - 300	3	10 - 4	YES
<i>CdTe/CZT</i>	2.0	2.2	slow	1- 3	0.1	YES
<i>CaLIPSO</i>	2.9	22	?150? - 380	10	0.15	Will be !

*LSO/LYSO* : The reference detector. No big drawback.

*LaBr<sub>3</sub>* : Excellent timing, poor PE Efficiency, fair positionning.

Only relevant for full body, Time of Flight PET config.

*CdTe/CZT* : Excellent position reconstruction, poor PE Efficiency.

Only relevant for single mouse PET imaging

*CaLIPSO* : Best PE efficiency, Excellent positioning, very good timing.

**Take the best of all technologies – *Needed* for high-res efficient Brain PET**

# CaLIPSO Detector Basics (1)

TriMethyl Bismuth (**TMBi**),  $\text{Bi}(\text{CH}_3)_3$

Bi, Z = 83, highest Z non radioactive element.

Phot. Electric Efficiency 47%

Limpid, dielectric, Chem. stable.

**Double Detection**

**Photo-detectors**

Fast! => Trigger, timing.

**Ionization chamber**

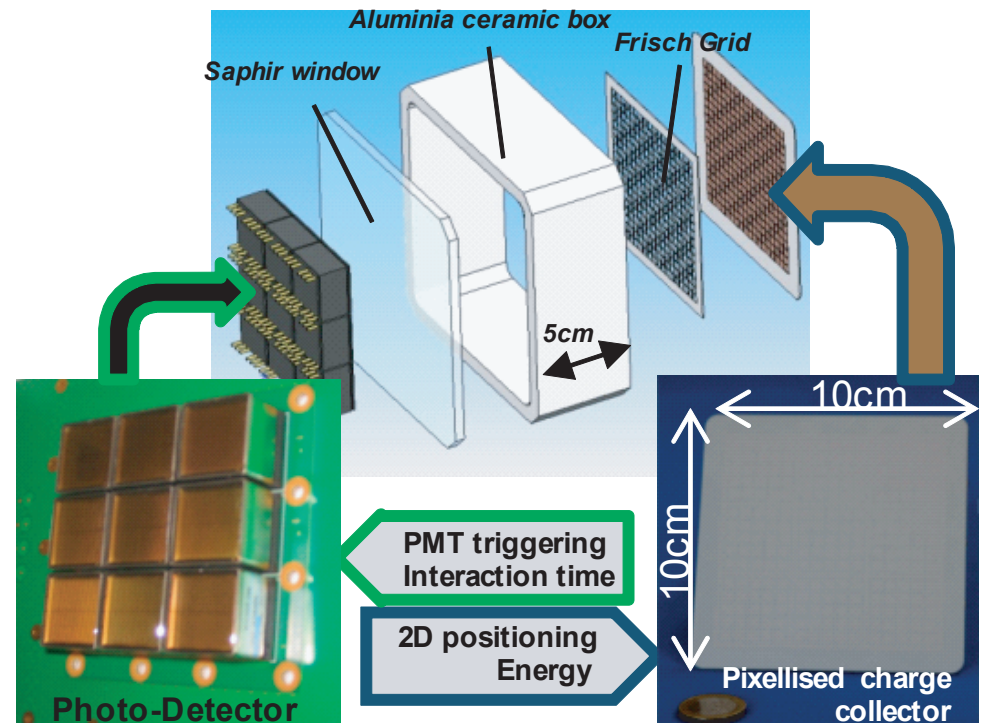
Pixelated detector, Frisch Grid

Energy, positioning 2D

**Patent:  $\gamma$  detector**

D. Yvon, PCT/EP2011/054153

D. Yvon, J-Ph. Renault, G. Tauzin et al. , IEEE TNS, vol. 61 (2014) 60.



## CaLIPSO Detector Basics (2)

$\gamma$  interacts in TMBi :  $R_{PE} = \frac{\sigma_{PE}}{\sigma_{PE} + \sigma_{Comp}} = 47\%$   
 $\Rightarrow e^-_{PE} \sim 420 \text{ keV}$

=> Light Production : Cherenkov

Low yield ( $\sim 20 - 40 \gamma$ ), **Very Fast ( $\sim 10 \text{ ps}$ )**

Photomultipliers.

=> Ions pairs production

Modest Yield ( $\sim 10 \text{ pairs/keV}$ )

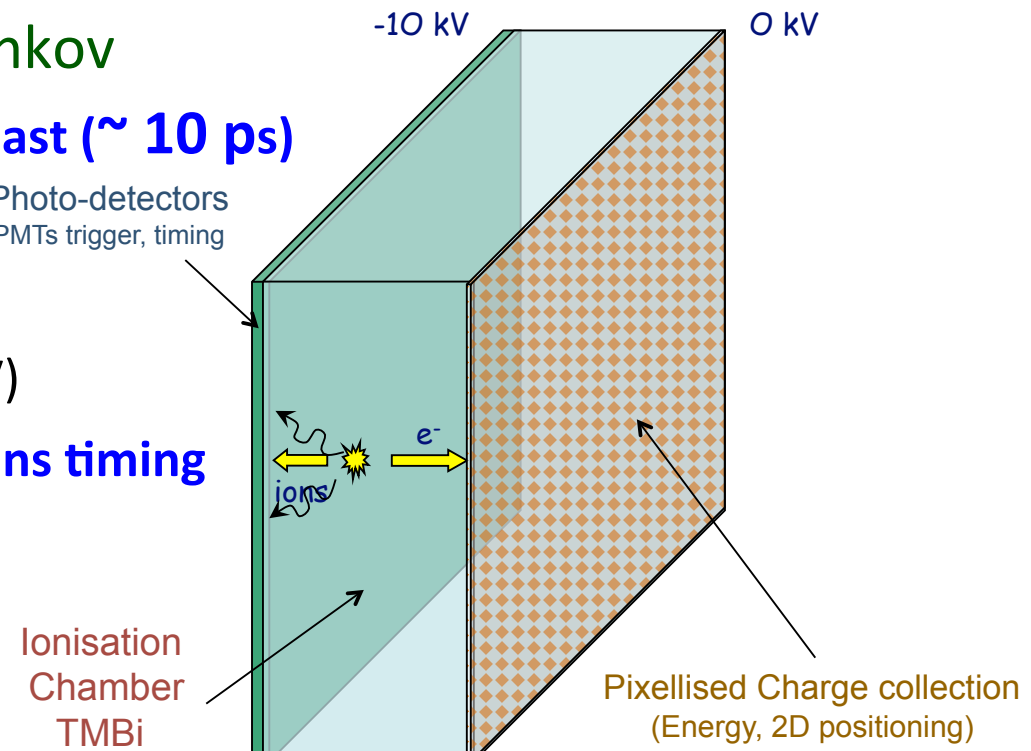
=> **Energy 10% FWHM, 100 ns timing**

Slow Drift :  $1 \text{ cm}/\mu\text{s}/10\text{kV/cm}$

=> **Drift time**

Pixels => 2D positioning

Drift Time => **3D positioning, 1mm<sup>3</sup>**



## Etat d'avancement du projet

Propriétés optiques du TMBi  
DéTECTEURS OPTIQUES  
VERS UN DÉTECTEUR IONISATION

# CaLIPSO technological challenges (1)

TMBi properties for particle detection

Now known, *but Gfi.*

Light Collection efficiency

Timing on a single PE  $\gamma$

Ultra-purification, cleanliness

better than 1 ppb eq. O<sub>2</sub>

Needed for charge drift

Known: TMSi, TMGe, TMP

Readout electronic density

1 amplifier every mm<sup>2</sup>

=> ASICs *IDeF-X*, CaLISTE



TMBi Ultra-purification apparatus

# Propriétés optiques du TMBi

# Indice de réfraction du TMBi



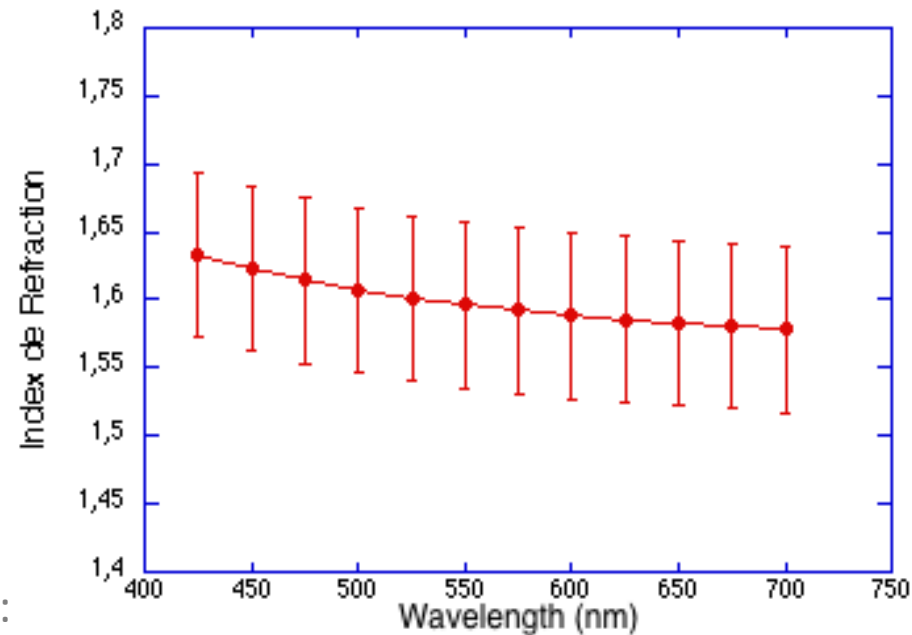
Daniel Desforge  
Emilie Ramos

Mesure au goniomètre

Cellules prismatiques étanches

Mesure sur le TMBi

Erreurs :  
géométrie  
de la cuve



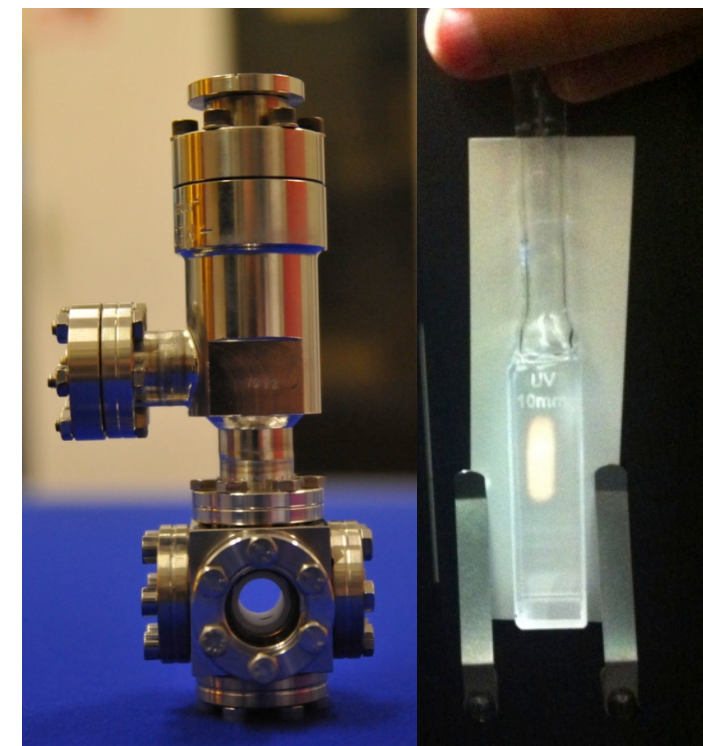
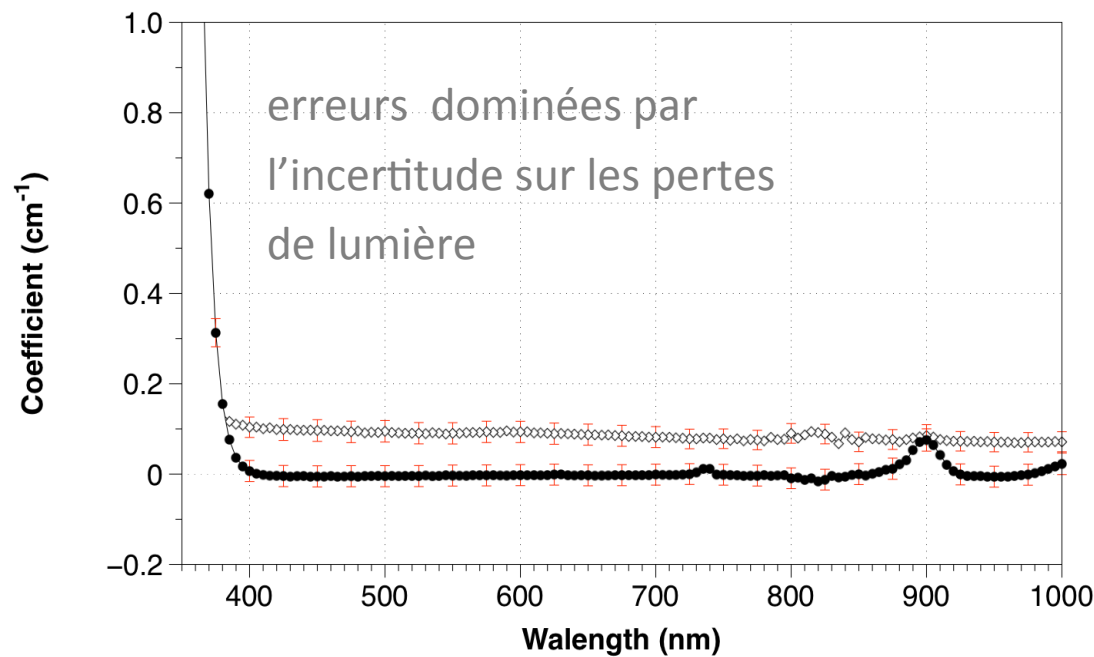
**Calorimètre Liquide Ionisation Position Scintillation Organométallique**

# Absorption / Diffusion du TMBi

Cuves en verre à faces parallèles étanches

Tenir compte des différentes pertes lumineuses:

- Absorption dans le verre
- Réflexions de Fresnel



Calorimètre Liquide Ionisation Position Scintillation Organométallique

# Production de lumière

## Cellule optique

Fenêtres MgF<sub>2</sub>

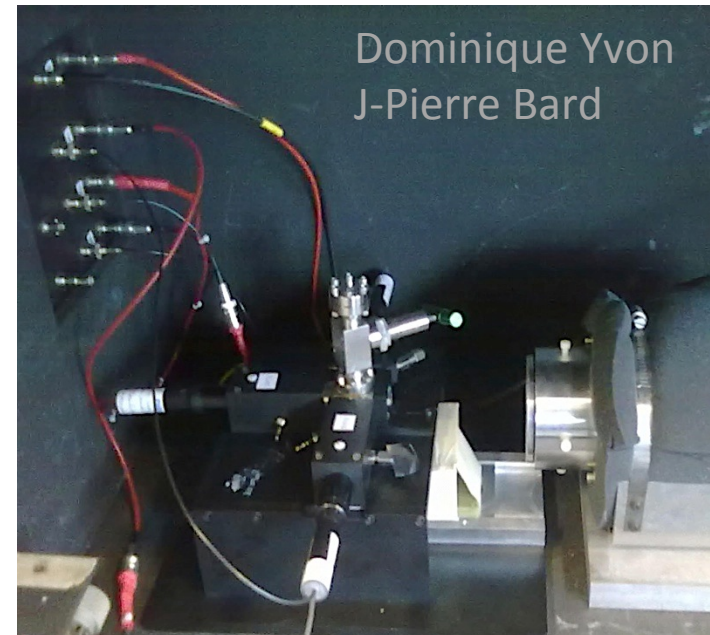
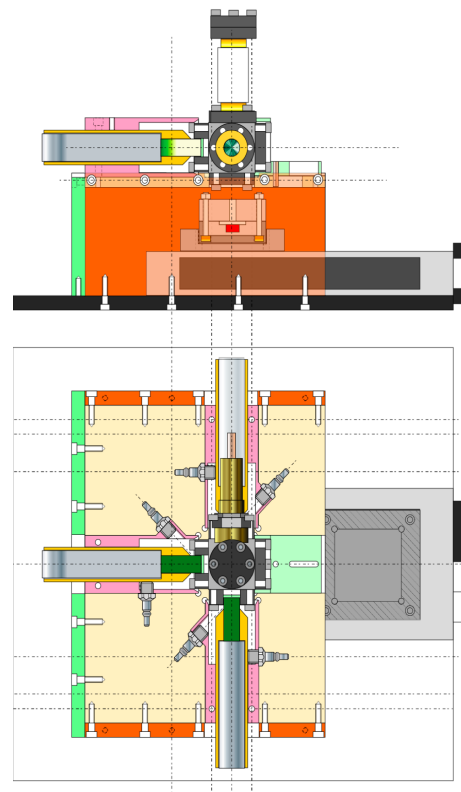
120 nm - 800 nm



P. Cassette et al. [2003]

## Banc de mesure du rendement production lumière

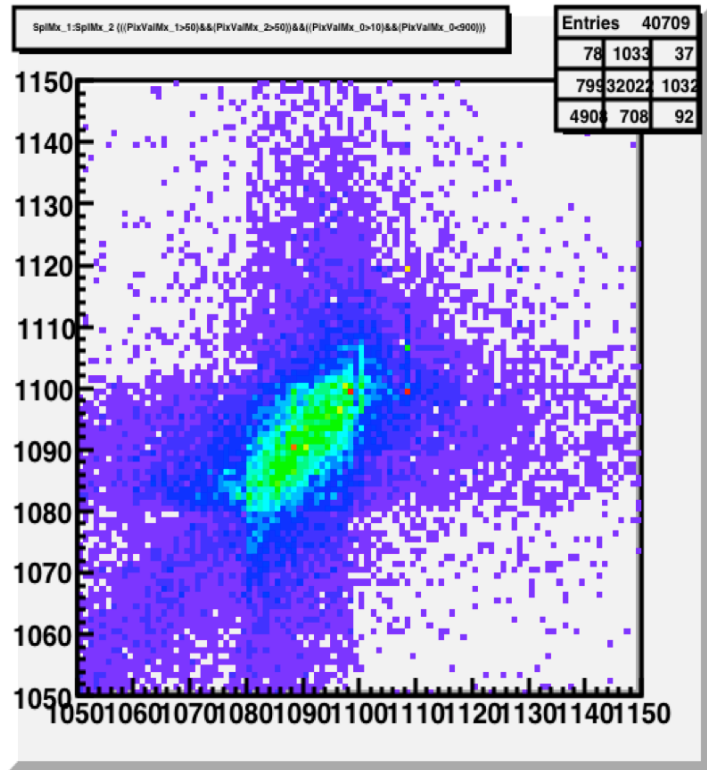
dessins Daniel Desforge



**Calorimètre Liquide Ionisation Position Scintillation Organométallique**

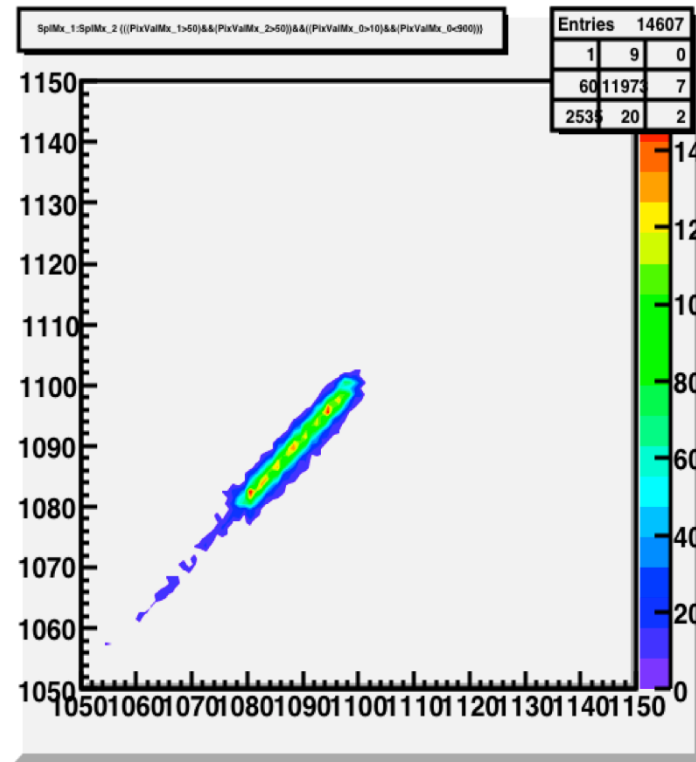
# Temps de décroissance de scintillation

LAB+PPO, LAB-Pb+PPO,



Temps de décroissance scintillation LAB  
~ 5 ns

TMBi, TMSi



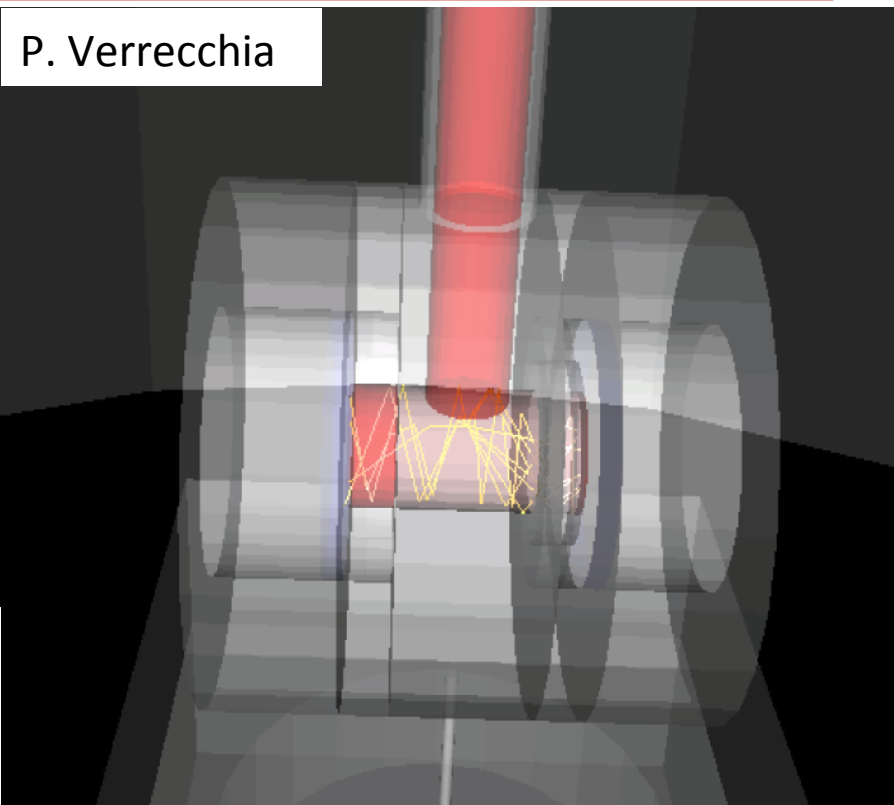
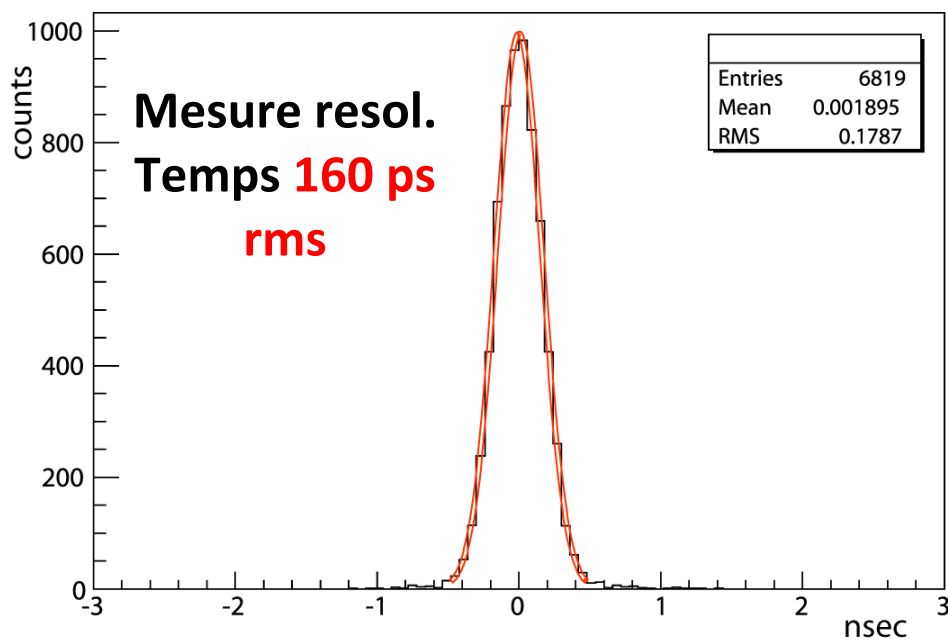
Temps de décroissance scintillation  
TMBi et TMSi *Rapide! < 1.5 ns*

# Etude cellule Temps-Scintillation



Cellule  
Temps-Scintillation +  
PMT R9880U-100.

D. Desforges



Simulation Optique Géant 4

Résolution en temps dominée par les PMTs

# TMBi properties for particle detection

60

IEEE TRANSACTIONS ON NUCLEAR SCIENCE, VOL. 61, NO. 1, FEBRUARY 2014

## CaLIPSO: An Novel Detector Concept for PET Imaging

D. Yvon, J.-Ph. Renault, G. Tauzin, P. Verrecchia, C. Flouzat, S. Sharry, E. Ramos, J.-P. Bard, Y. Bulbul, J.-P. Mols, P. Starzynski, D. Desforge, A. Marcel, J.-M. Reymond, S. Jan, C. Comtat, and R. Trébossen

**Abstract**—The CaLIPSO project focuses on the development of an innovative energetic-photon detector. The detector uses a “heavy” organometallic liquid: the TriMethyl Bismuth (TMBi), 82% by weight of Bismuth. TMBi efficiently converts through the photo-electric effect photons of energies below 1 MeV. The ionisation signal and light produced in the liquid are both detected. Beyond the measurement of gamma photon energies, this detector will allow locating photon interactions in the detector in three dimensions down to 1 mm<sup>3</sup> and a sub nanosecond timing accuracy. All these desirable properties can be obtained simultaneously with liquid TMBi detector.

**Index Terms**—Biomedical imaging, calorimetry, gamma ray detectors, position sensitive particule detectors, positron emission tomography.

### I. INTRODUCTION

PET imaging is used for diagnosis, clinical research and in vivo small animal research to study molecular processes associated with cancer, neurological and neurodegenerative diseases, psychiatry and cardiology. Since the early 1990 when PET was recognized as a powerful diagnosis tool, major technological advances have been made mainly in the five following directions: 1) sensitivity improvement, 2) spatial resolution gain, 3) uniformity of the spatial resolution across the field of view, 4) corrections for the main effects degrading the quantification, and 5) reconstruction algorithms so as to improve the signal to noise ratio and the spatial resolution of images.

These efforts have translated to the advent of dedicated small animal imaging devices, TOF PET and high spatial resolution whole body PET systems. In addition to these improvements, an

Manuscript received June 10, 2013; revised August 21, 2013; accepted November 06, 2013. Date of publication January 09, 2014; date of current version February 06, 2014. This work was supported in part by the Neuropole de Recherche Francilien (NeRF), Ile de France, under the Grant no. RPH10014DDA.

D. Yvon, G. Tauzin, P. Verrecchia, C. Flouzat, S. Sharry, E. Ramos, J.-P. Bard, Y. Bulbul, J.-P. Mols, P. Starzynski, D. Desforge, A. Marcel, and J.-M. Reymond are with CEA Saclay, Institut de Recherche sur les lois Fondamentales de l'Univers, Bat. 141, F-91191 Gif sur Yvette Cedex (e-mail: dominique.yvon@cea.fr).

J.-Ph. Renault is with CEA Saclay, IRAMIS/SIS2M and UMR 3299 CNRS, Bat 146, F-91191 Gif sur Yvette Cedex.

S. Jan, C. Comtat and R. Trébossen are with the CEA-Service Hospitalier Frédéric Joliot, 4 place du Général Leclerc, F-91401 Orsay Cedex.

Color versions of one or more of the figures in this paper are available online at <http://ieeexplore.ieee.org>.

Digital Object Identifier 10.1109/TNS.2013.2291971

TABLE I  
MAIN RECENT SCINTILLATOR CRYSTALS PROPERTIES

	LSO	LYSO	LaBr <sub>3</sub>	
Density	g.cm <sup>-3</sup>	7.4	7.1	5.3
RapPE	%	30	30	15
Att. Coeff.	cm <sup>-1</sup>	0.87	0.86	0.47
Light Yield	MeV <sup>-1</sup>	30000	32 000	63 000
Dec. time	ns	40	41	25
Hydroscopic		No	No	Yes

effort toward multimodalities imaging systems including PET is ongoing.

Most PET detectors use Lutetium-based crystals such as LSO and/or LYSO scintillator crystals [1], [2], [3]. Recently LaBr<sub>3</sub> scintillation crystal has been proposed as an alternative to lutetium based crystals. Table I summarizes the main properties of those crystals. Those detectors have opened the way to advanced performance PET systems in the early 2000s. Roger Lecomte has detailed in reference [3] the performance requirements for clinical PET and described the detection technologies and their assembly into systems.

The state of the art commercially available PET systems exhibit nearly 10% efficiency. This moderate value mainly results from the limited solid angle coverage. Indeed, most of PET systems are cylindrical and their axial extension is limited to 20 to 25 cm at best.

Furthermore 511 keV-photons that enter an LSO scintillating crystal have 70% chance to Compton scatter. If the crystal is large enough, double interactions are likely to occur and ensure the full conversion of photon energy. However these events introduce an ambiguity in the interaction positioning and will also impact the spatial resolution. As a consequence a detector material with a high **photo fraction** is valuable for PET imaging [2] as it will enable the development of a compact system with optimal spatial resolution and preserved detection efficiency.

Improvement of the spatial resolution and its uniformity across the Field of View (FOV) were proposed with the measurement of the photon depth of interaction and the 3D positioning of the photon interactions in the detectors [2], [3]. However, in most of commercially available systems, intrinsic spatial resolution is limited by detector crystal size, photon nonlinearity and to a less extent to the positron range.

A **detector time resolution** of a few 100 ps allows localizing the position of the positron annihilation with several-cm accuracy along the Line Of Response. This time resolution efficiently reduces the random background impact on the image

## Trimethyl Bismuth optical properties for particle detection and the CaLIPSO detector

E. Ramos, D. Yvon, P. Verrecchia, G. Tauzin, D. Desforge, V. Reithinger, D. Dubreuil, M. Hamel, C. Flouzat, S. Sharry, J.-P. Bard, Y. Bulbul, J.-P. Mols, P. Starzynski, A. Marcel, R. Granelli.

**Abstract**— Trimethyl bismuth (TMBi) is a “heavy” transparent and dielectric organometallic liquid. Charge and light produced in the liquid are both detected in the CaLIPSO detector. This paper focuses on the measurement of the TMBi optical properties relevant for particle detection. We measured the TMBi transmission curve and refraction index versus wavelength, as well as the light production yield and the timing performance on a small size cell.

**Index Terms**— Gamma ray detectors, Position sensitive particle detectors, Calorimetry, Biomedical Imaging, Positron emission tomography.

### I. INTRODUCTION

The CaLIPSO project focuses on the development of an innovative energetic-photon detector. The qualities of this detector are particularly highlighted in demanding measurements on the properties of positron annihilations. Such device would be welcome in solid state physics on slow positrons beams (Positron Annihilation Lifetime Spectroscopy, or ACcolinearity Annihilation Reconstruction methods, so called PALS or ACAR), or in the context of medical imaging by positron emission tomography. Motivations, context, technological assets and challenges for the CaLIPSO project (french acronym for liquid ionization calorimeter with positioning and light detection) are described in details in references [1, 2]. The detector uses an



Fig.1: Measurement setup of the TMBi refraction index. A prismatic cell filled with water is placed at the center of the goniometer plateau for a systematic check.

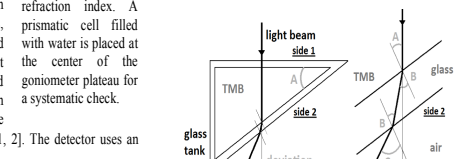


Fig. 2: Beam path and angle names at the prismatic cell boundaries.

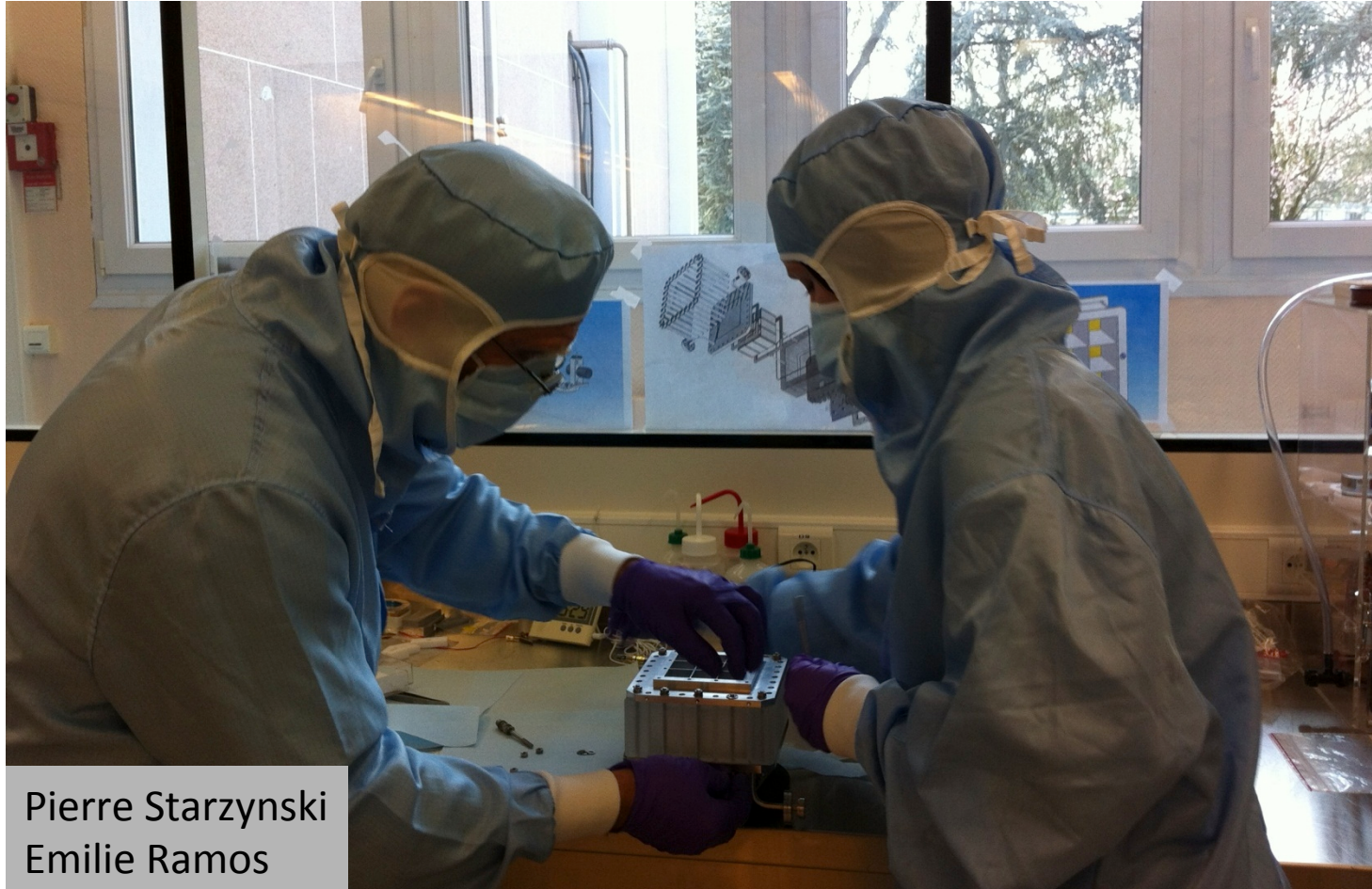
### II. REFRACTIVE INDEX

#### A. Experimental setup

For its measurement, we used vacuum tight prismatic glass

# Instrumentation du DéTECTEUR Optique

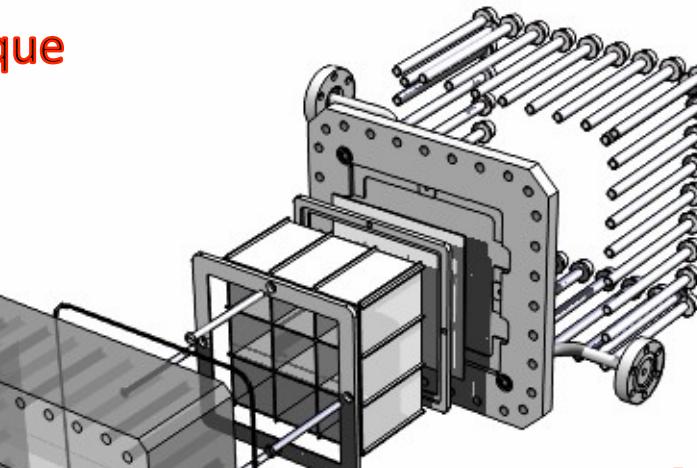
# Démonstrateur optique



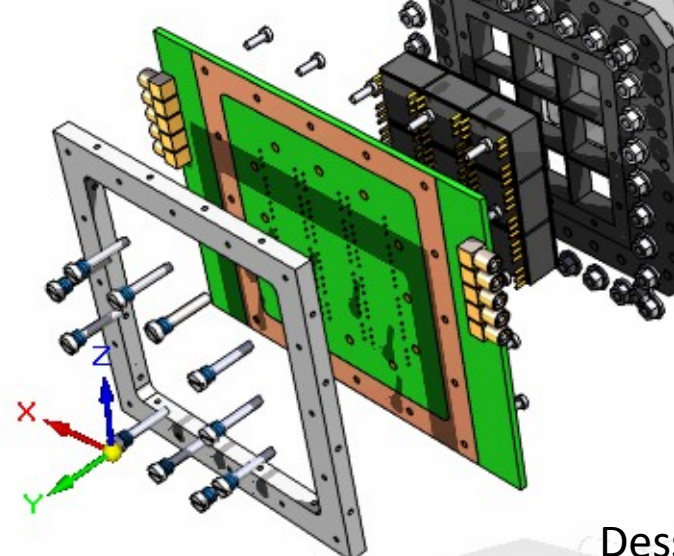
**Calorimètre Liquide Ionisation Position Scintillation Organométallique**

# Conception Mécanique et Vide

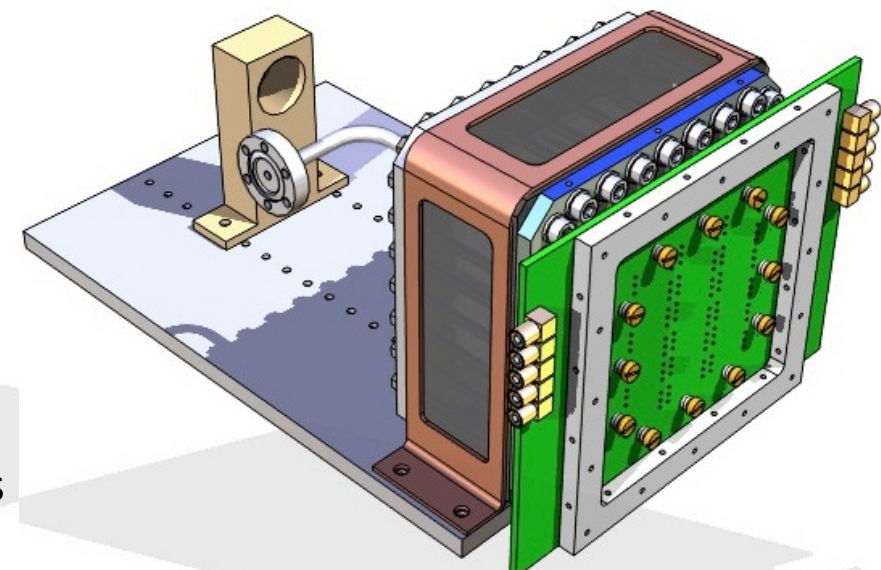
Eclaté Démonstrateur Optique



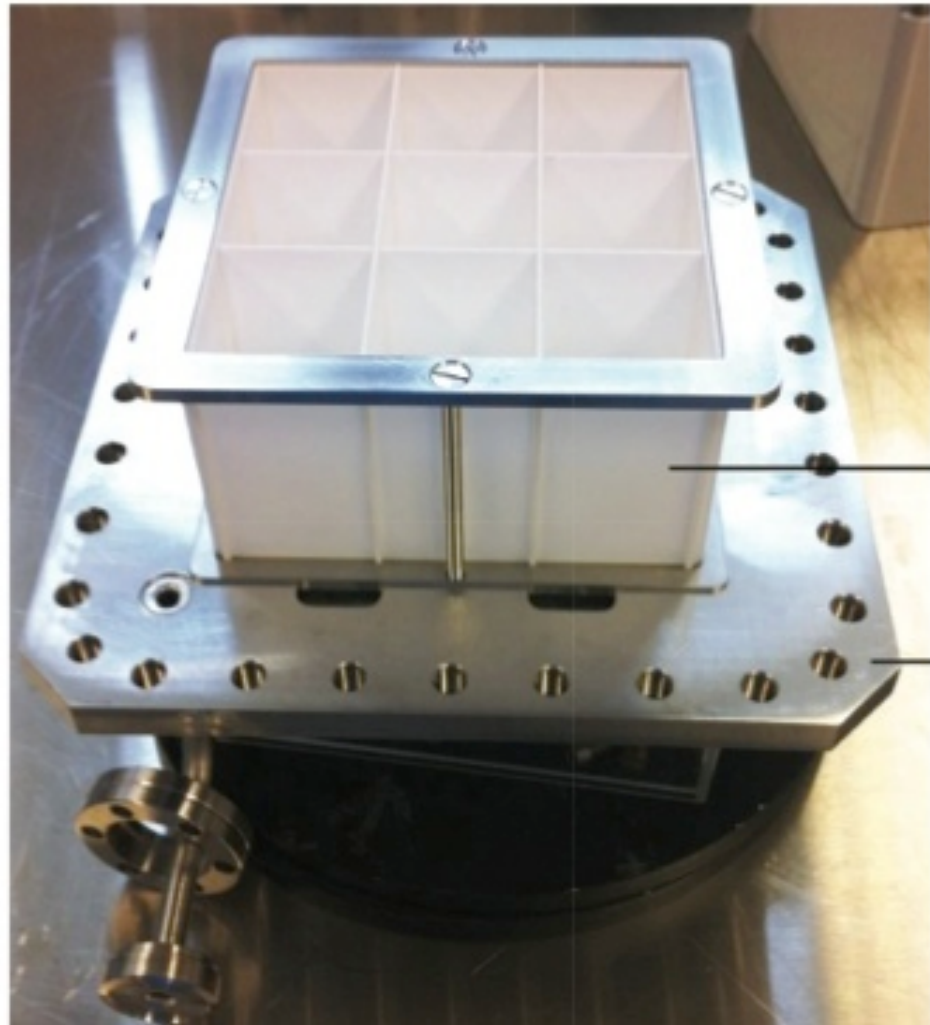
Démonstrateur Monté



Dessins JP Mols



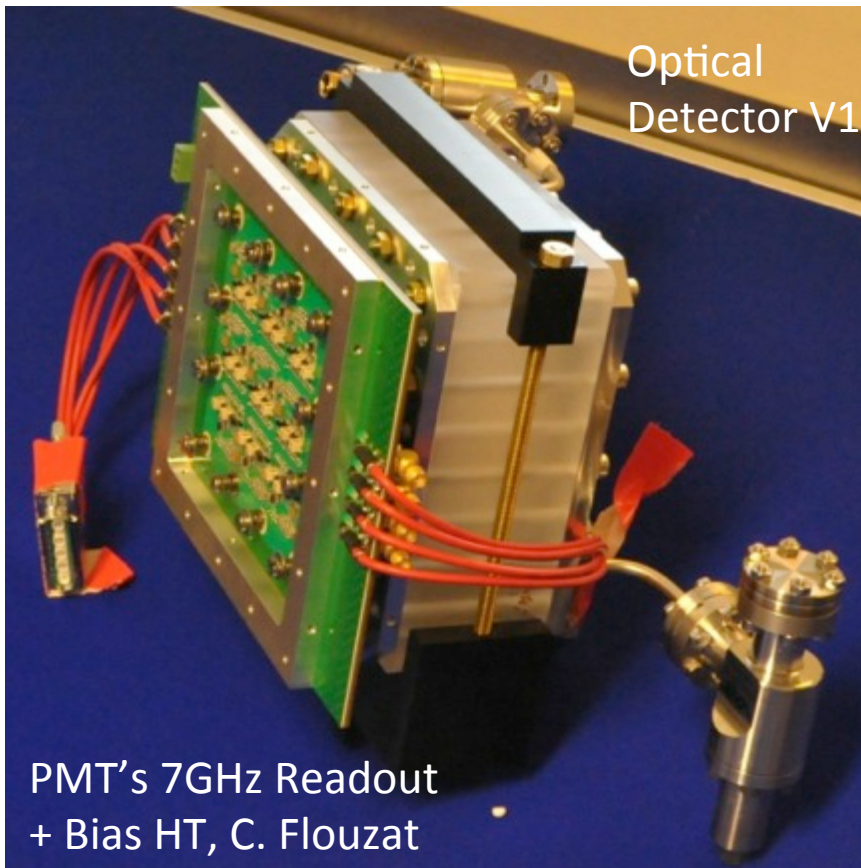
# Guide de Lumière DO1 CaLIPSO



**Guide de lumière**

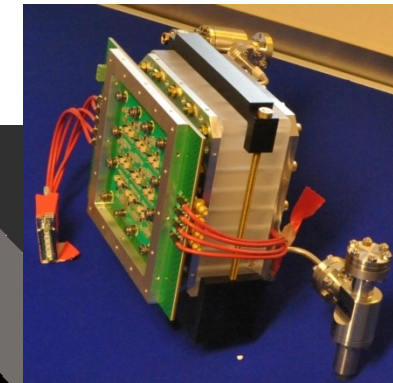
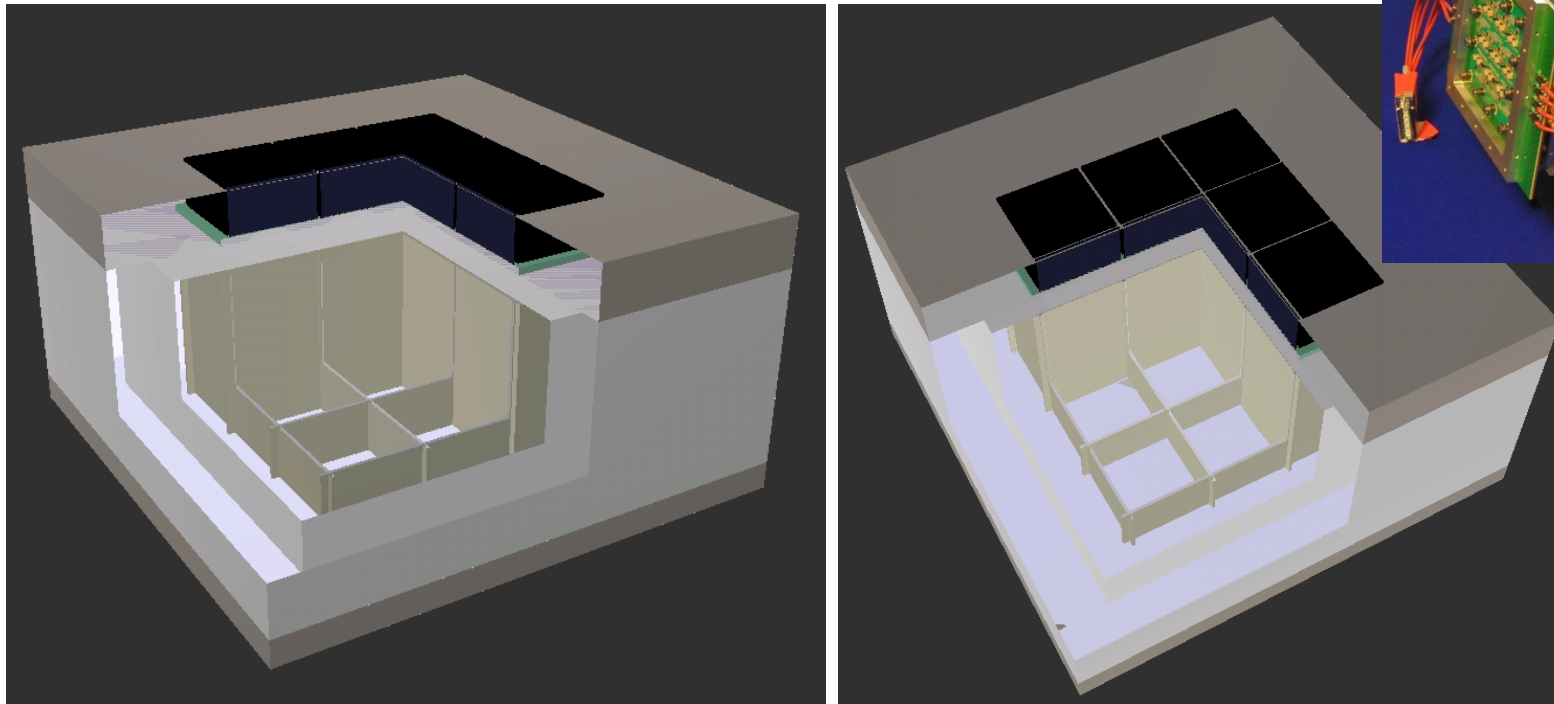
**Bride servant à fermer le corps de chambre**

# First and Second Optical Detector



# Démonstrateur optique simulé

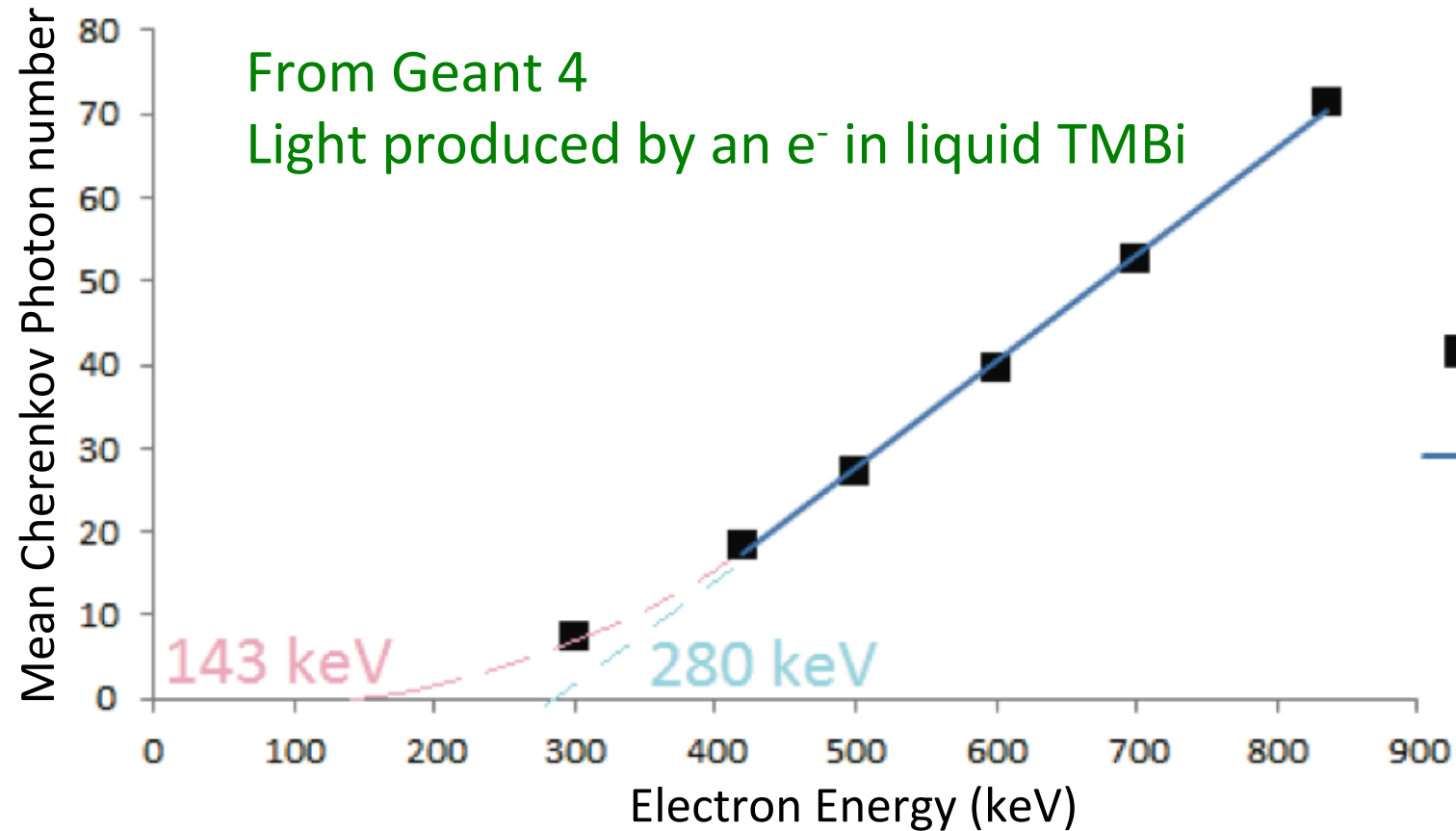
Géométrie du démonstrateur optique dans Geant4



- Valider le modèle
- S'en servir pour comprendre et optimiser le démonstrateur

**Calorimètre Liquide Ionisation Position Scintillation Organométallique**

# Cherenkov light production



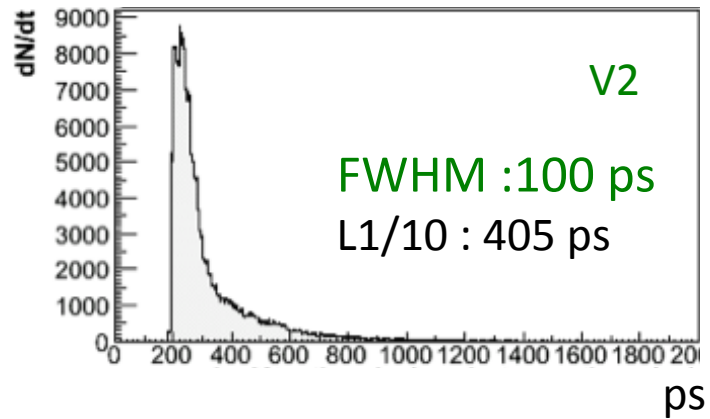
~ 20 Cherenkov Photons produced for a 420 keV PE electron

Supported by a single measurement at 836 keV

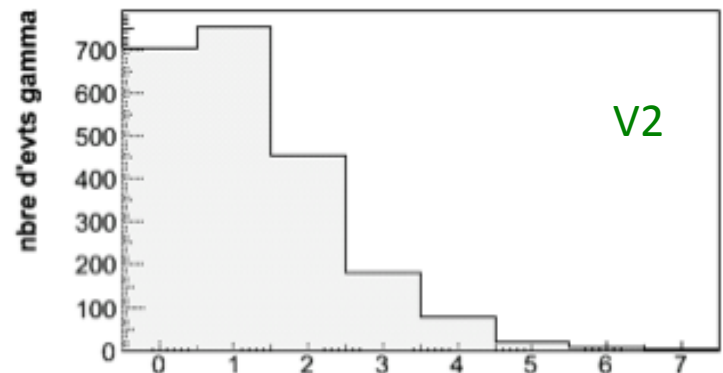
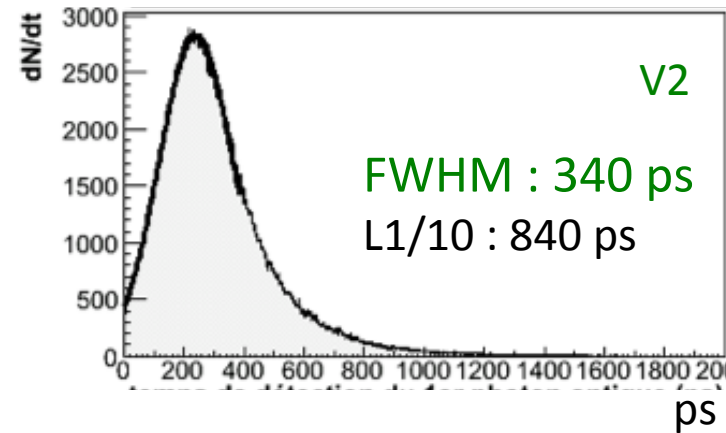
E. Ramos, et al. "Trimethyl Bismuth optical properties .....", IEEE TNS. – sub.

# Optical Detec. V2 simulations.

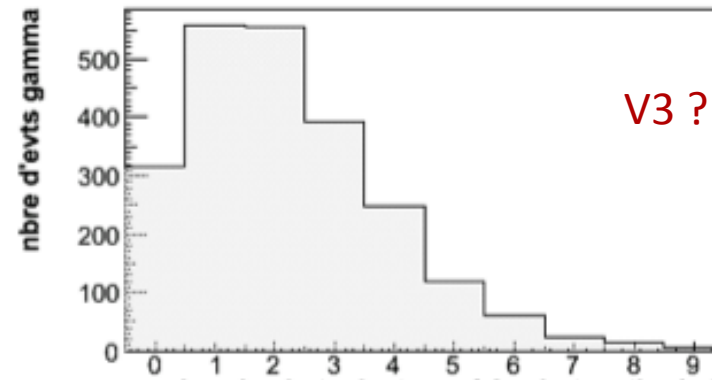
PhotElec. Time Distrib



Expected Mes. Time Distrib – R11265

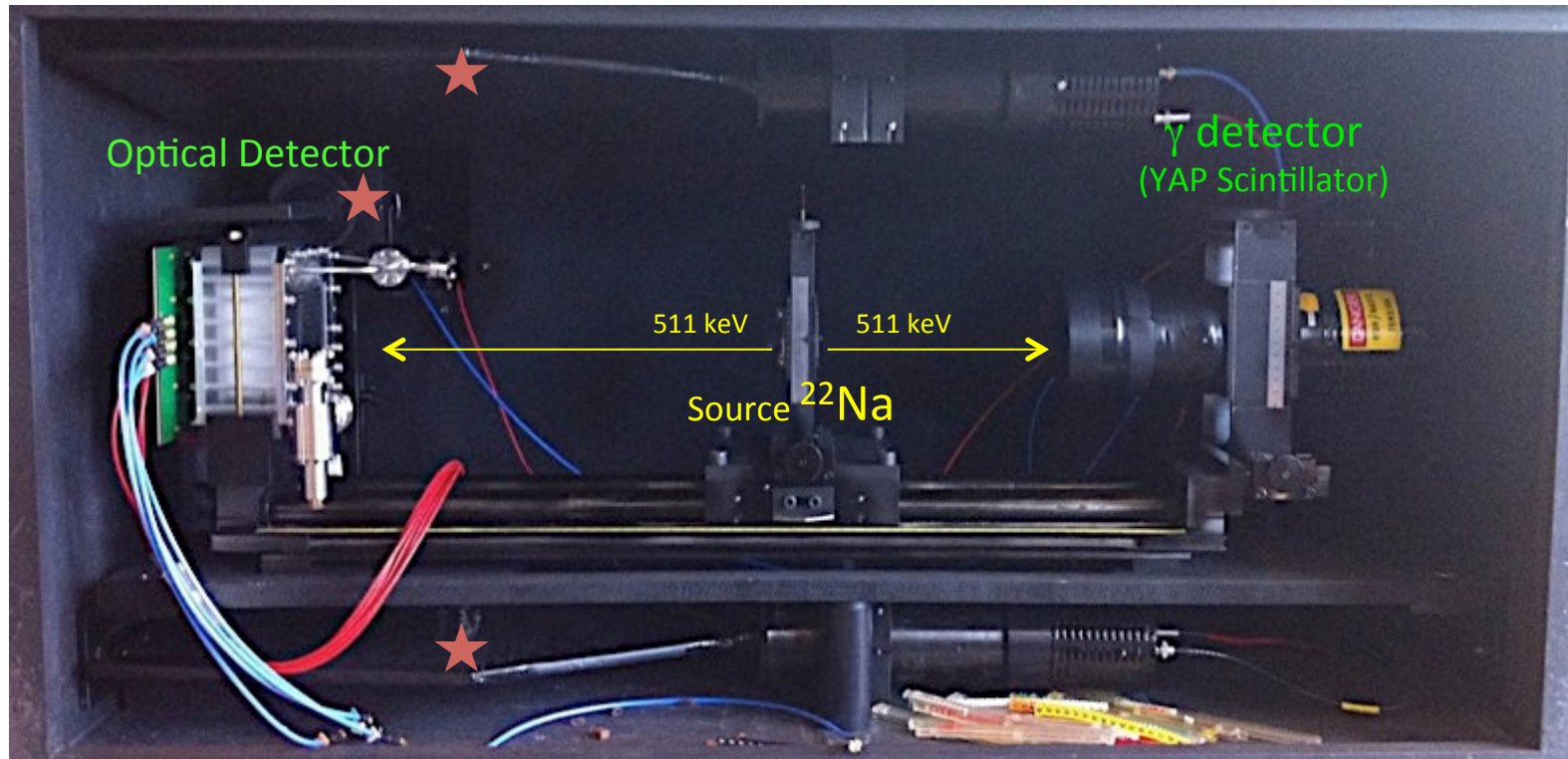


Calc. PhotElec Number Distribution



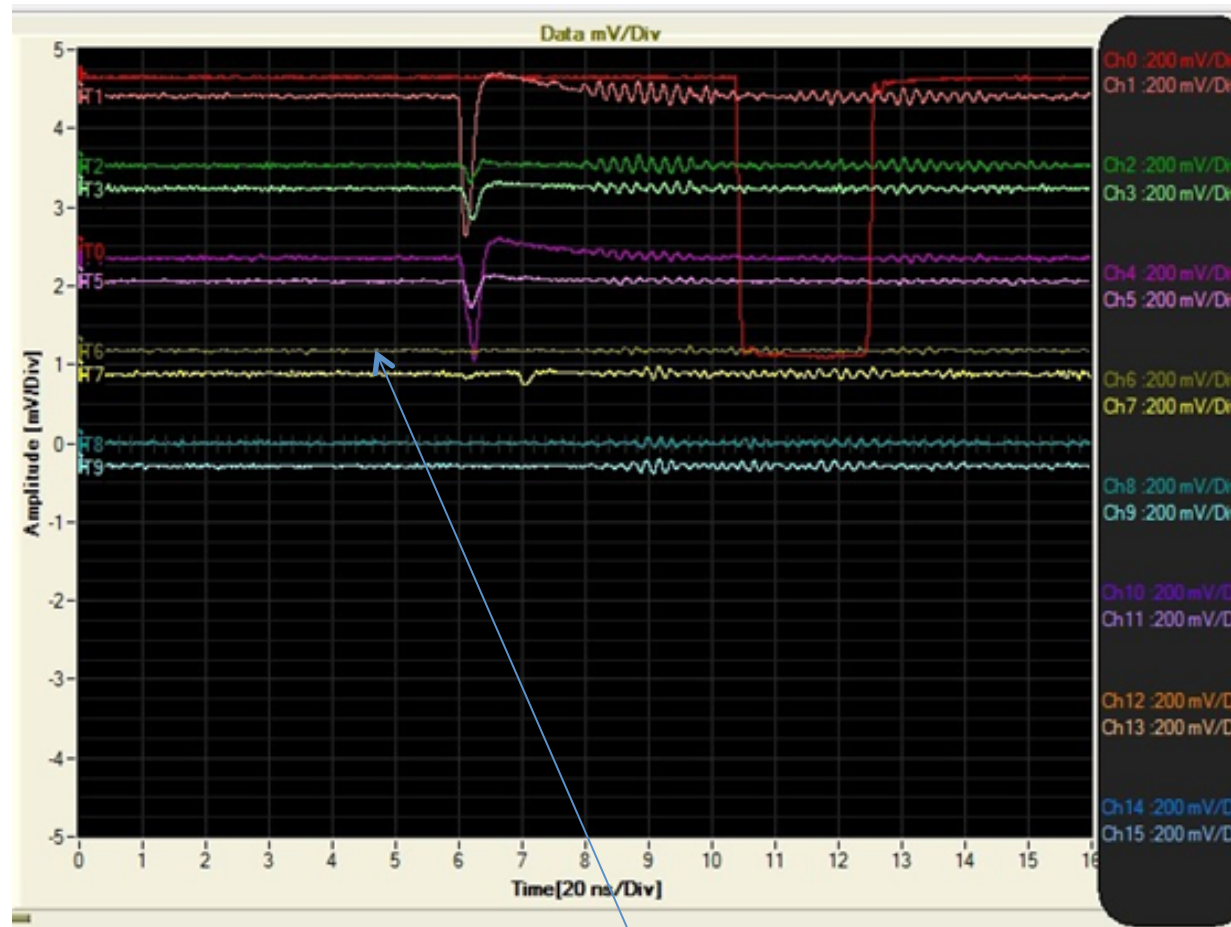
Opt. PhotElec Number Distribution  
High efficiency Photocathode.

# Optical Detector Test Setup



- Data acquisition triggered by a YAP scintillator pulse.
- Geometry/threshold chosen to select 511 keV  $\gamma$  pointing in centered Cell.
- Measurement of the **detector's efficiency** and **speed** on 511 keV  $\gamma$ .

# First Signal on Optical Detector



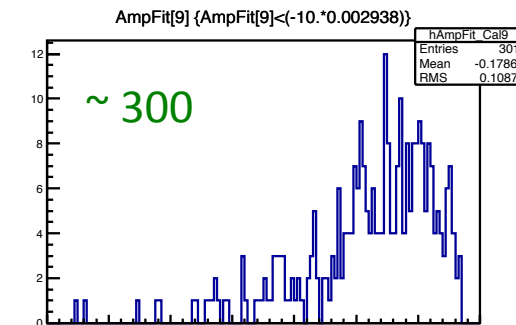
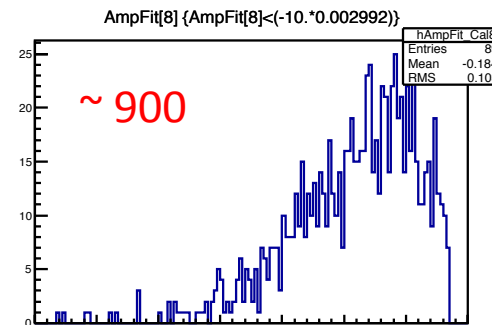
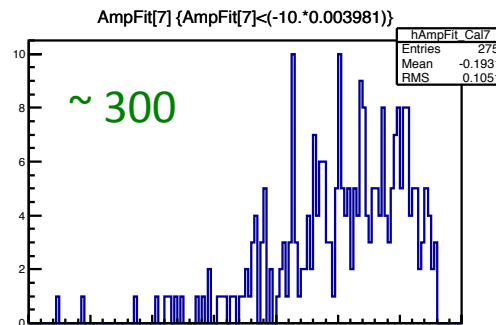
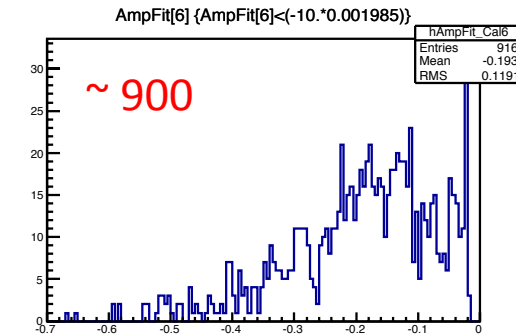
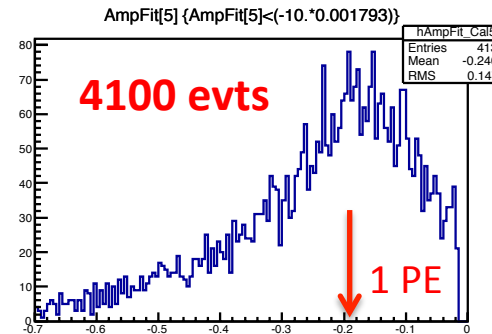
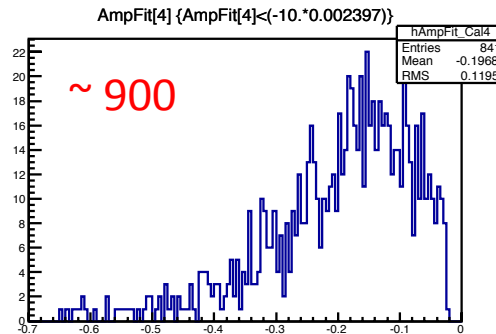
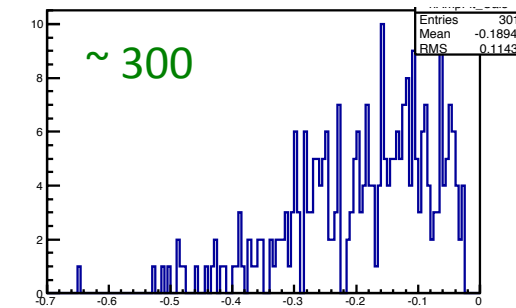
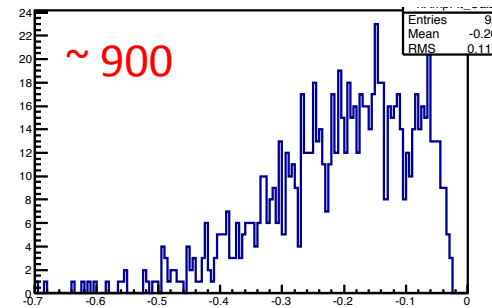
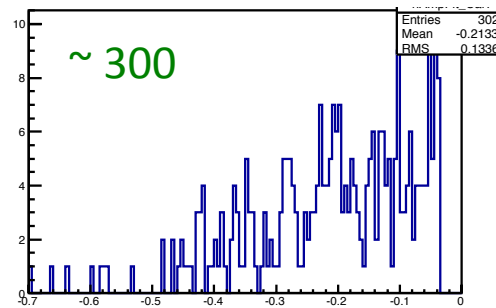
D.Yvon  
JP Bard

Cosmic rays => coincidences on 5 channels, strong signal => lower HT on PMT.

Using a 16 Ch., 3.2 GHz, WaveCatcher (D. Breton et al., NIM A, 2011)

**Calorimètre Liquide Ionisation Position Scintillation Organométallique**

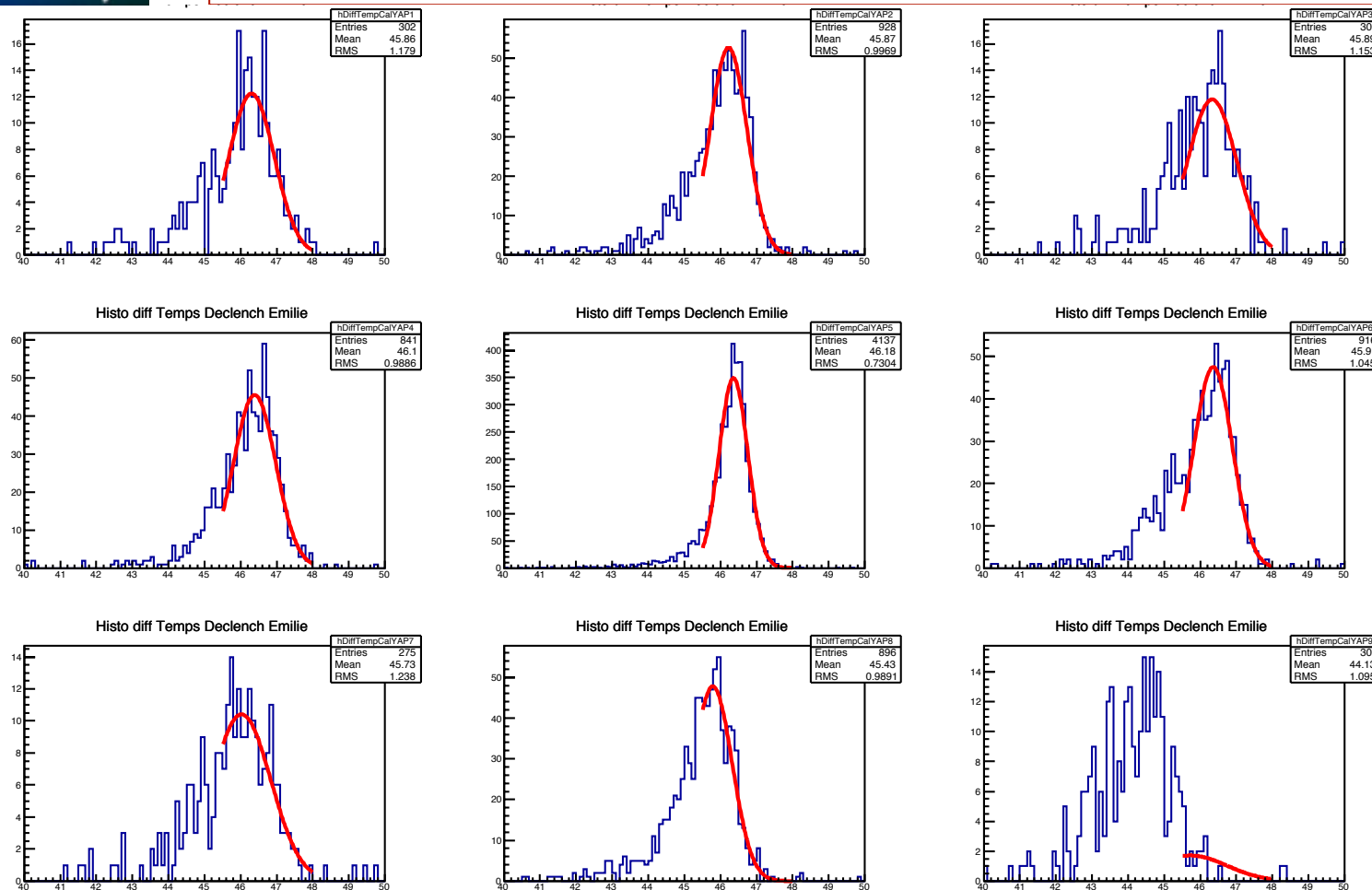
# Pulse Amplitude Distribution



We mainly trigger on Single Photo-Electrons  
 Centered cell rate >> neighbor cells rates but *crosstalk*

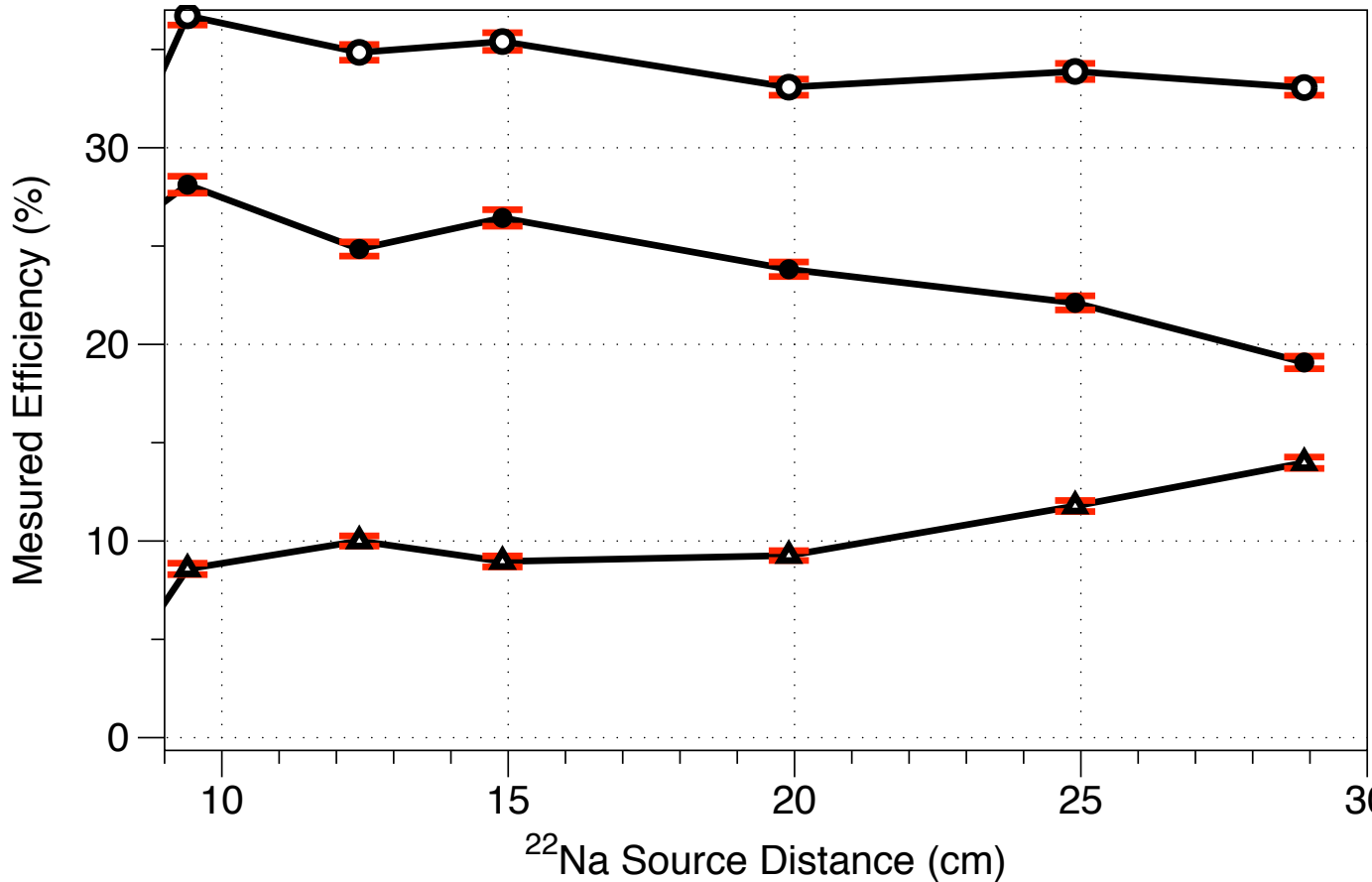
# YAP-OD2 Measured $\Delta T$

D.Y.



*Centric cell time distribution is the narrowest*  
=> Increased optical path for neighbor cells triggering photons

# 511-keV $\gamma$ Detec. Efficiency



D.Y.

Circles:

Total detection efficiency Flat  $\sim 34.5\%$

Black Dots:

Centric cell detection efficiency

Triangles:

Neighbor cells detection efficiency

*Dist. >20 cm => 511 keV Photons imping on neighbor cells too*

# YAP - OD2 measured $\Delta T$

Fitted Time Width :  
 **$592 \pm 18$  ps (FWHM)**

YAP  $\gamma$  Detector :  
 **$245 \pm 11$  ps (FWHM)**

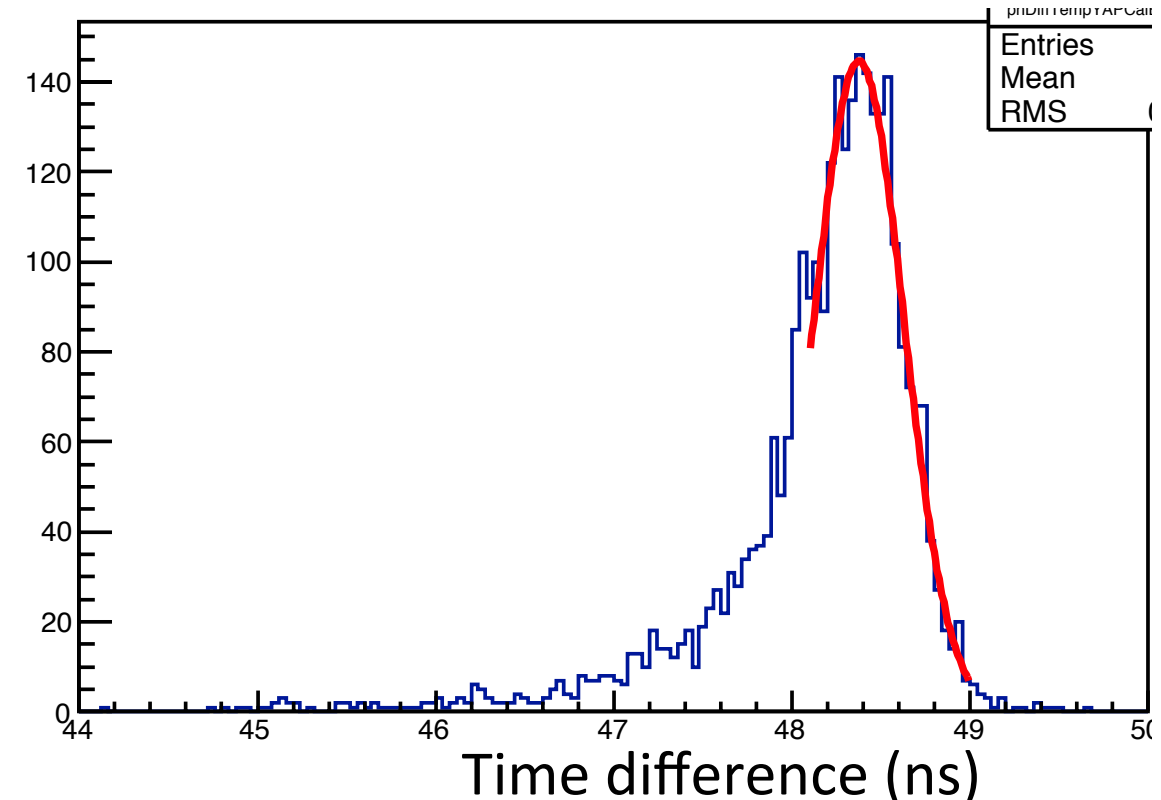
OD2 Time Res. :  
 **$539 \pm 25$  ps (FWHM)**

Dominated by R11265 PMT Time Transit Spread:

Biasing network *not tapered*

Working at ***Gain =  $0.4 \cdot 10^6$***  ..... *But .....*

***MCP-PMTs needed in order to optimise CaLIPSO time resolution.***



## Summary DO2 Tests

Detection Efficiency on 511 keV  $\gamma$  through PE conversion :

Expected:  $0.90 * 65.7\% * 47\% = 27\%$

We measure: **34.5 %.**

**Fully efficient** ☺ => We detect few Compton interactions

Timing on 511 keV:  $539 \pm 25$  ps (FWHM),

Timing correlated to PMT Gain

**MCP-PMT needed** in order to get closer to nominal 100 ps FWHM.

*E. Ramos PhD Thesis, December 2014.*

Next Step (DO3):

***Optimize Light Guides design*** to minimize Cross-Talk.

**Optimize Timing** with MCP-PMT => MCP-PMT ordered.

# Vers un Démonstrateur Ionisation

Etudes DéTECTeurs  
Etude électronique multipixéllisée  
Ultrapurification.

# Enjeux pour un détecteur Ionisation

Propriétés de dérive de charge dans le TMBi

Technologie Détecteur

Chambre à ionisation liquide

Herméticité/Porosité/absorption eau: Zéro

Compatibilité Chimie TMBi

Grande densité de pixels

→ *Plancher de détection résistif*

→ *Détection par influence capacitive*

Electronique ASICs IdeF-X

Ultrapurification du TMBi

*Objectif ~ 0.1 ppb O<sub>2</sub> eq.*

Ultra-propreté

*Détection de contaminants*

*Ultra-purification*

# Ionisation dans les liquides

Principales propriétés:

Rendement de production de charge  
Mobilité des électrons  
Durée de vie des électrons

Free ion yield

Nombre de paires échappant à la recombinaison  
Pour 100 eV déposés dans le liquide

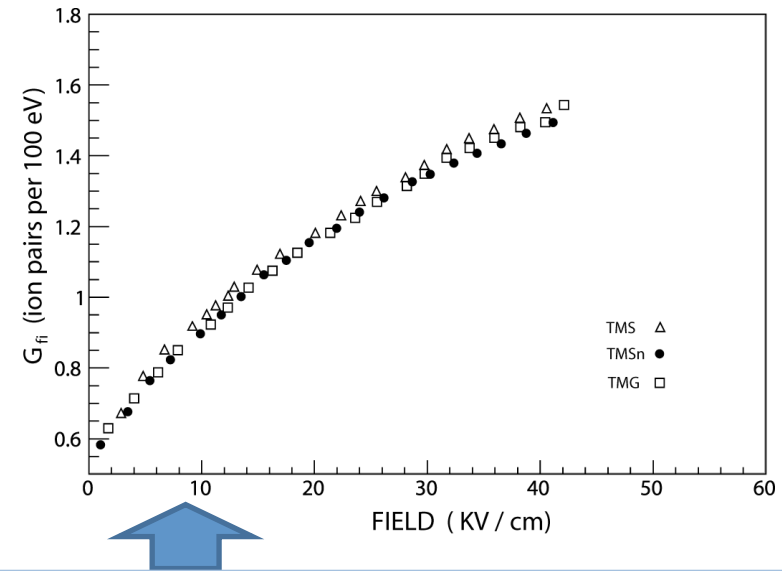
$\equiv G_{fi}$

$G_{tot}$

Nombre total de paires d'ions formées dans le liquide  
pour 100 eV d'énergie

	Chemical formula	$\epsilon$	$d$ (g/cm <sup>3</sup> )	$G_{fi}(0)$	$\mu$ (cm <sup>2</sup> /V s)
TMS	(CH <sub>3</sub> ) <sub>4</sub> Si	1.92	0.645	0.65	100
TMG	(CH <sub>3</sub> ) <sub>4</sub> Ge	2.01	1.006	0.63	90
TMSn	(CH <sub>3</sub> ) <sub>4</sub> Sn	2.25	1.31	0.64	70
TMB	(CH <sub>3</sub> ) <sub>3</sub> Bi	2.65	2.30	>0.4	50 ?

Pour les liquides à température ambiante :  
 $G_{tot} \sim 3.5$ .



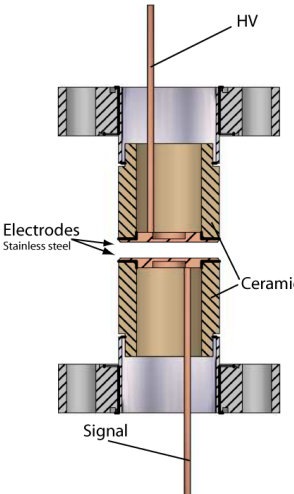
A bas champs les paires d'ions se recombinent

# Nos premières cellules / mesures

Montée sur le banc d'ultrapurification

Tous les appareillages sont assemblés sous procédure UHV

P. Verrecchia  
G. Tauzin



Mesures

- Mobilité des ions
- Constante diélectrique
- Rendement production de charge :  $G_{fi}$
- Compatibilités chimiques



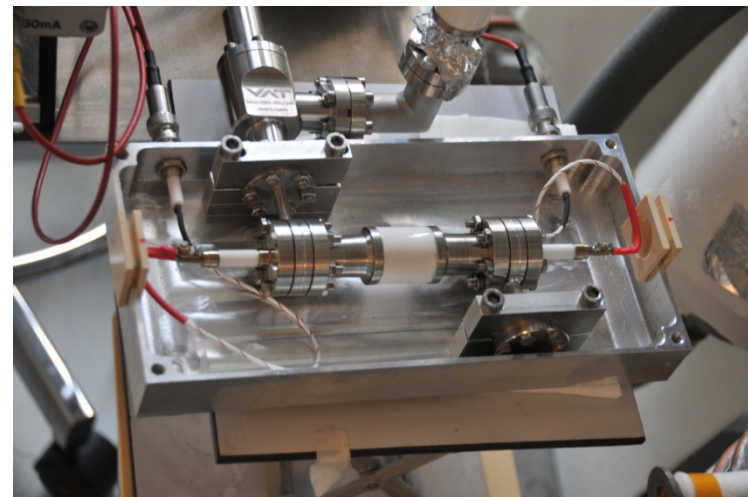
Gap : entre 2 et 2.35mm

HV max : between -1500 and -1800 Volts

Validation :  $R > 10^{16} \Omega$

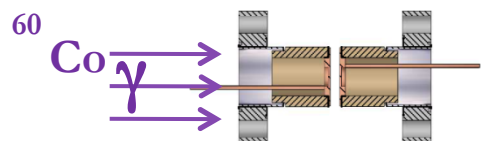
**Mesures de pureté du TMBi**

A base de matériel standard UHV

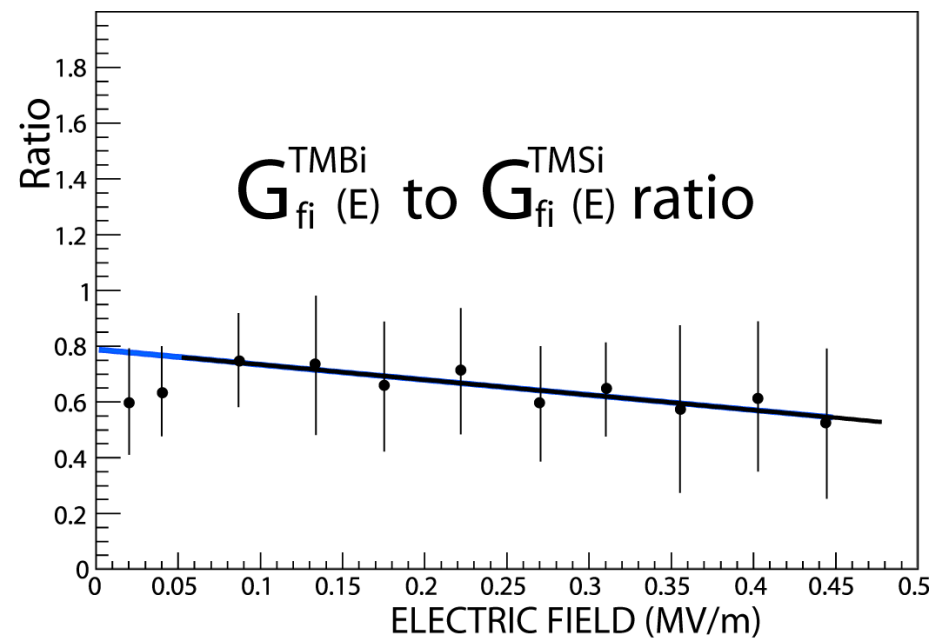
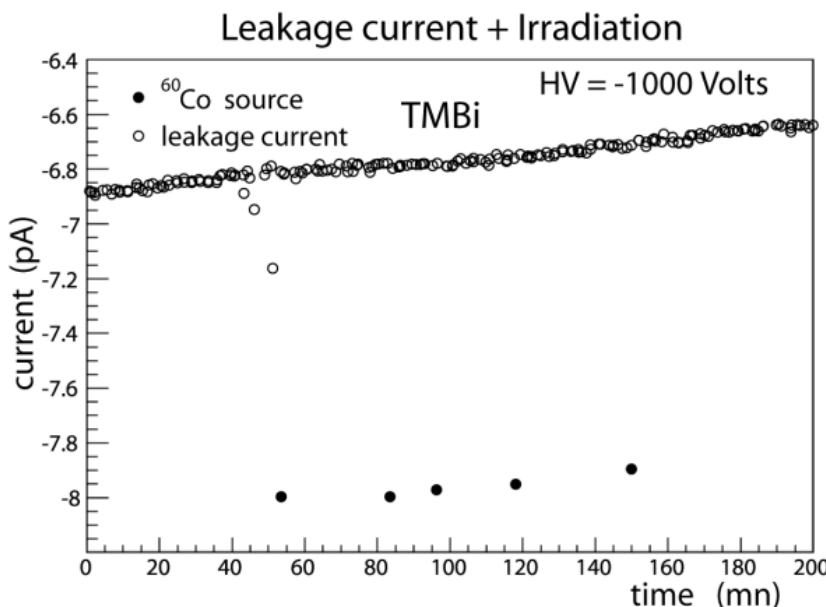


# Premiers résultats sur l'ionisation

## Pas d'ultrapurification



Dose rate  $\approx 300 \mu\text{Gy/s}$   
2 identical cells filled with TMS and TMB same purity



Les charges sont mobiles dans le TMBi.



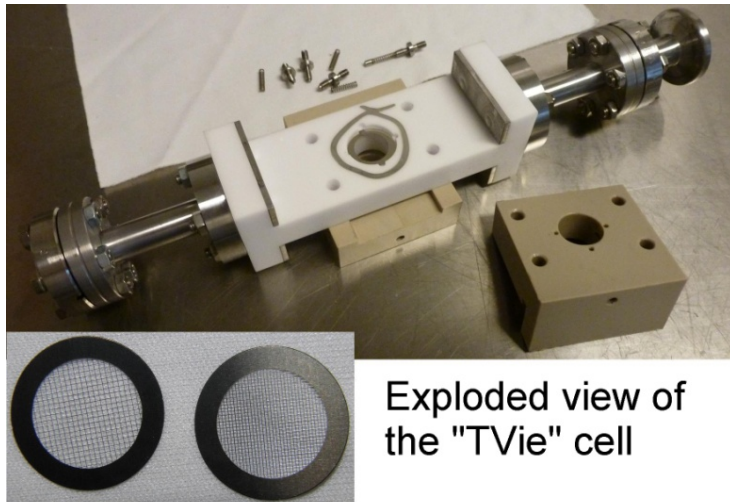
$G_{fi}(E=0)$  for TMB > 0.4

# Mesure de la durée de vie des électrons libres

Prototype *Monapixel* du détecteur ionisation

avec les technologies prévues  
pour la grille de Frisch et  
L'électronique de lecture.

Premiers tests d'adaptation  
de l'électronique de lecture IdeF-X  
(32 voies)

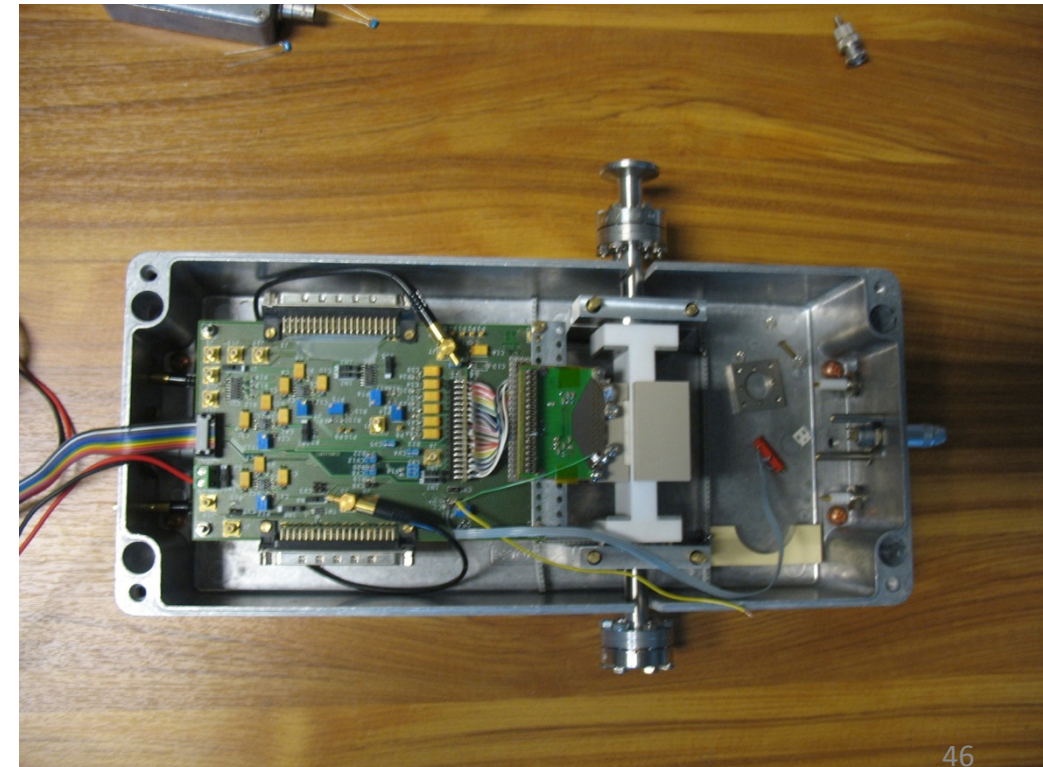


Exploded view of  
the "TVie" cell

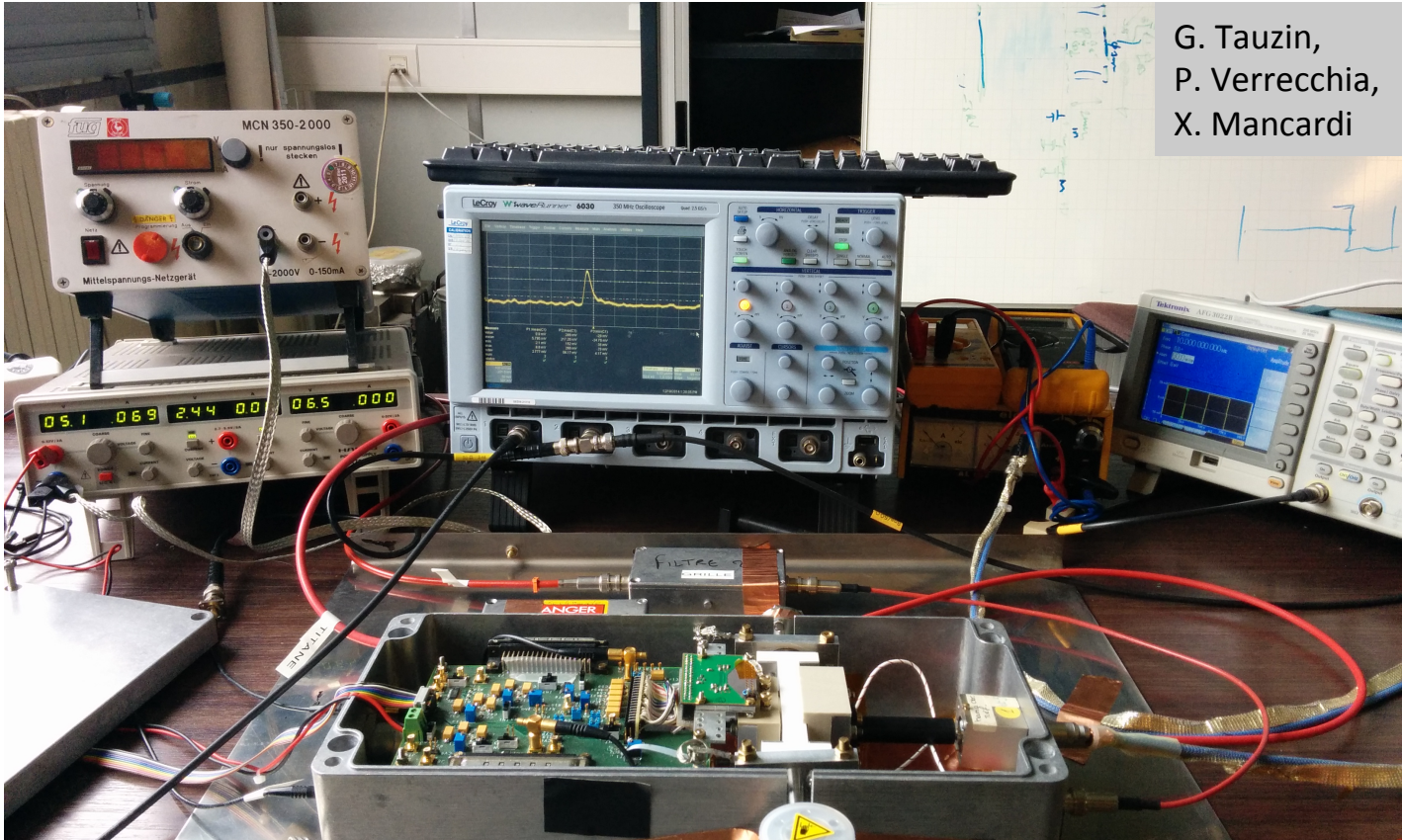
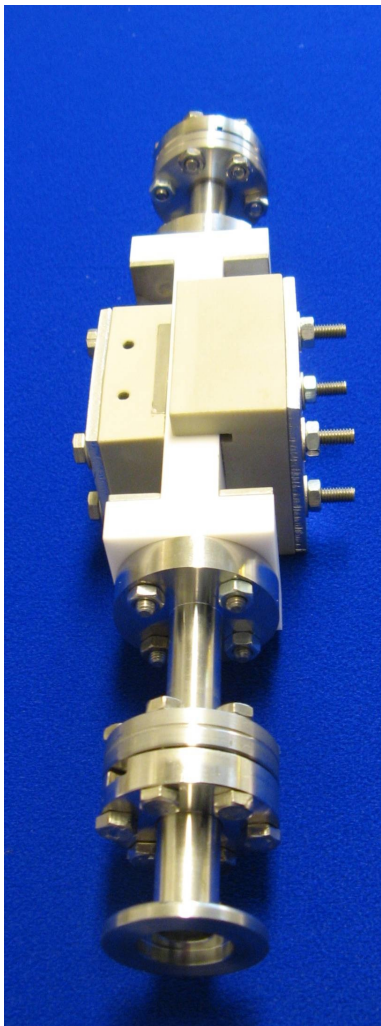
Two types of Frisch grid

Left : Nickel wires of 0.040mm at an interval of 0.5mm  
Right : Nickel wires of 0.040mm at an interval of 0.3mm

L'épaisseur de la chambre à dérive est  
réduite à 1 cm



# Cellule TVie



G. Tauzin,  
P. Verrecchia,  
X. Mancardi

## Premières impulsions muons du détecteur de charge CaLIPSO

Seuil ~ 1000 électrons, avec ASICs IdeF-X.

Charge attendue  $\gamma$  511 keV ~ 4500 électrons

=> Electronique de lecture validée ☺

# La question de l'Ultra-Purification

G. Tauzin  
P. Verrecchia



# Ultra - Propreté

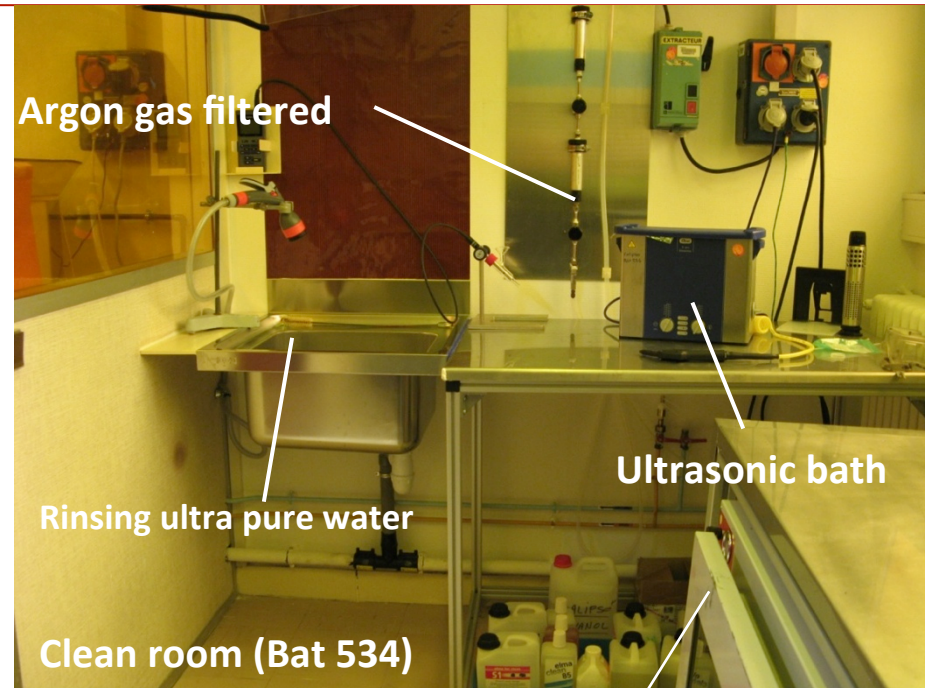
**Procédures de nettoyage ultravide standard :**  
→ Nettoyage de toutes les surfaces exposées au vide

## Assemblage en salles Blanches :

Tout éléments sous vide,  
DéTECTEURS,  
Flux classe 100.

### Taux de Fuite:

<  $10^{-11}$  mbar.l/s



## Dégazage sous pompage sec:

Vide limite



Vide sans contamination.

# Ultra purification par tamis moléculaire

Solide micro-poreux  $\equiv$  Adsorbent

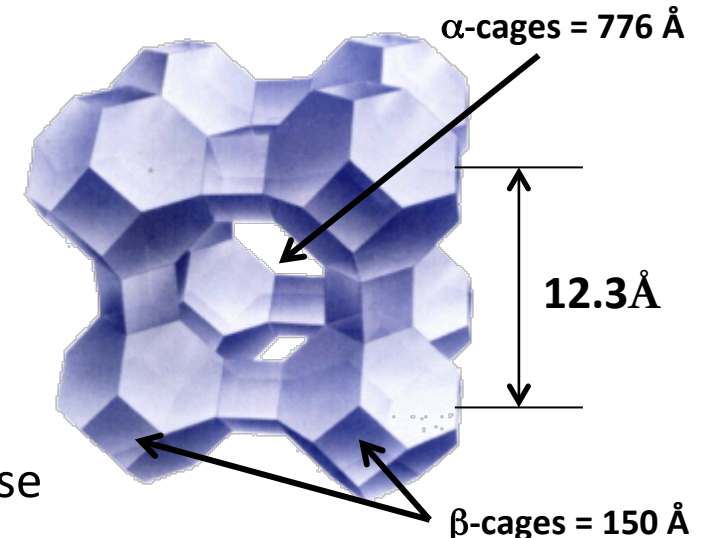
**Adsorption** : Piègeage des molécules de tailles inférieures à l'ouverture des micropores.

Aluminosilicate = **Zeolites**

Les tamis moléculaires sont des matériaux de synthèse



Pellets

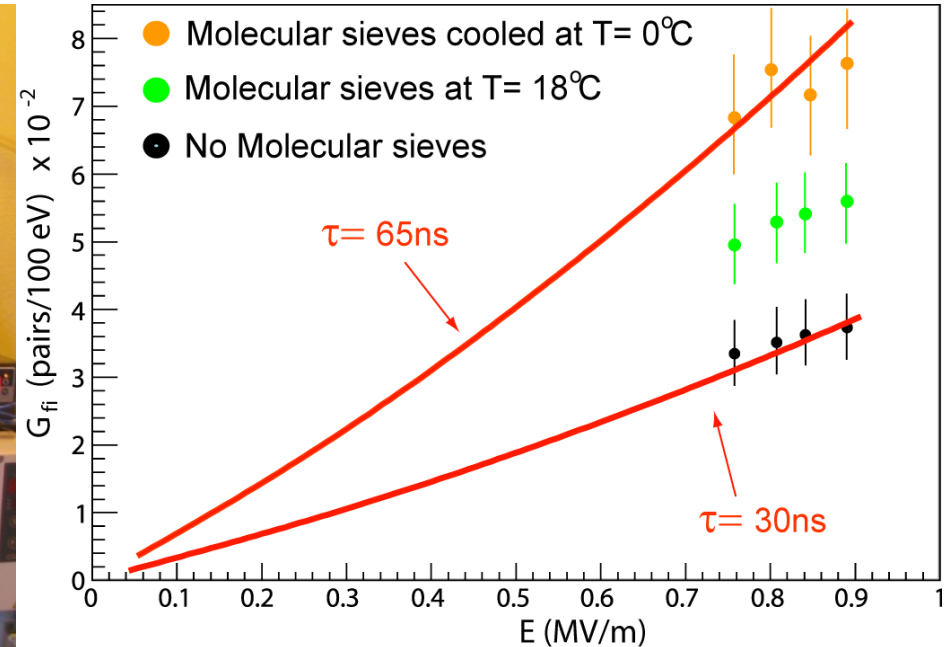


Structure d'une Zeolite A  
→ piègeage des molécules polaires

Les zéolites sont agglomérées en “Pellets”  
de taille macroscopique

Dans lesquels sont aménagés des “macropores”.

# Travail sur le tamis moléculaire



Electrons life time fitted using the Onsager model with the parameters:  
 $\epsilon = 2.65$      $Gf(E=0) = 0.408$   $\mu = 50\text{cm}^2/\text{V}\cdot\text{s}$

Réussir est indispensable pour permettre d'acquérir des signaux 511 keV en ionisation.  
C'est notre première priorité de travail

# Identification des contaminants

Guidance de J-Ph. Renault (IRAMIS)

=> CEA/DEN - DANS/DPC/SECR

D. Doizi, V. Dauvois, G. Plancque, A. Turban, S. Legan

*Chimie analytique,*

Recherche de **traces** de contaminants électronégatifs dans le TMBi.

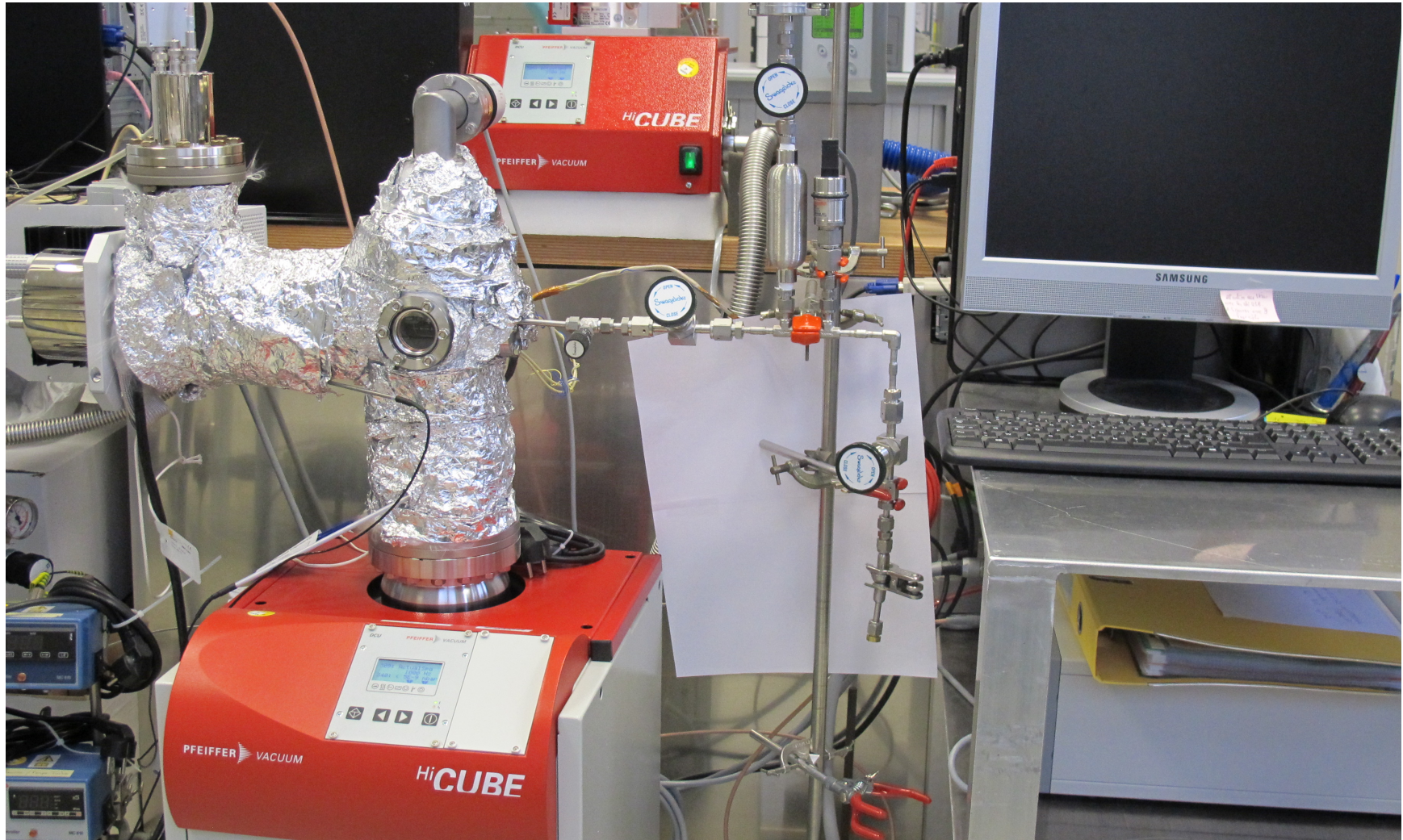
Si identification,

le choix d'un tamis efficace sera facilité.

*Défi expérimental.*

D. Doizi, V. Dauvois.

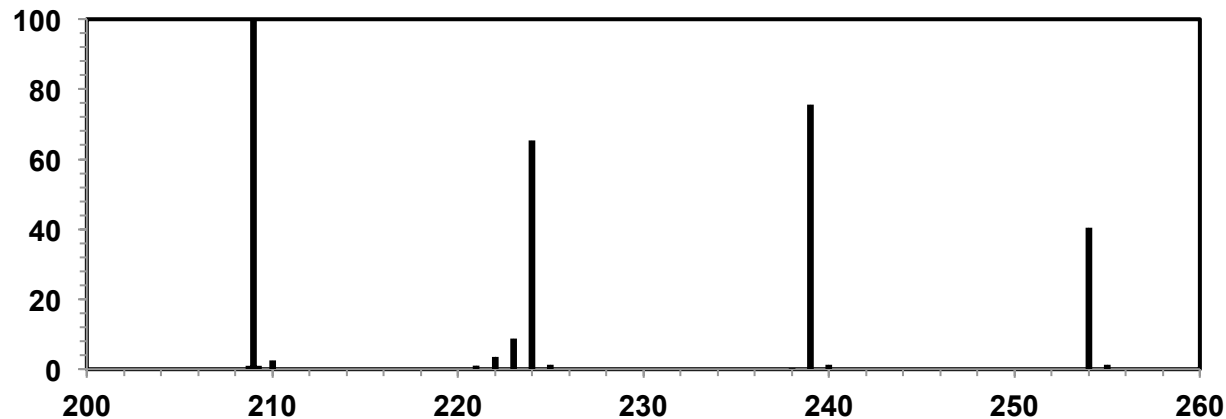
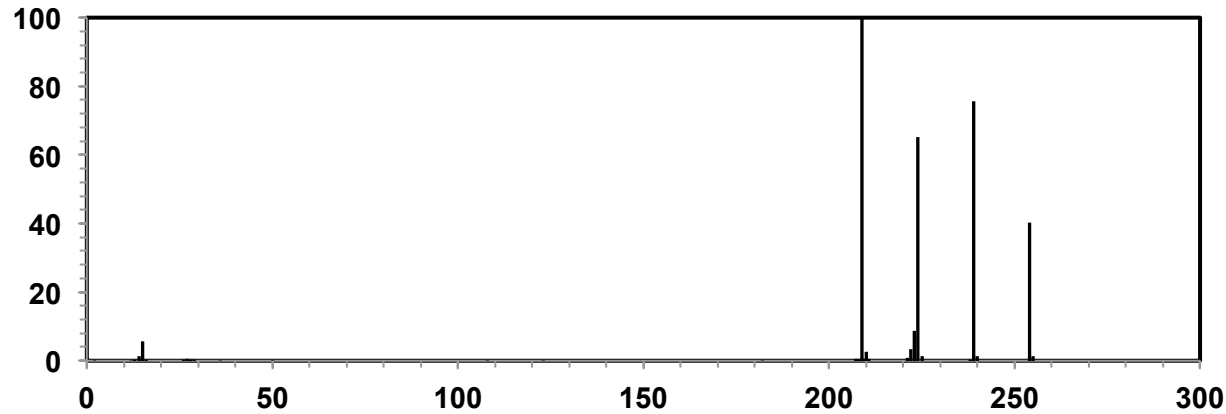
# Spectro Masse Quadripolaire (GMS, industrie)



# Spectro de Masse Gaz (GMS, Secteur Magnétique)



# Spectro. Masse Gaz TMBi pur.

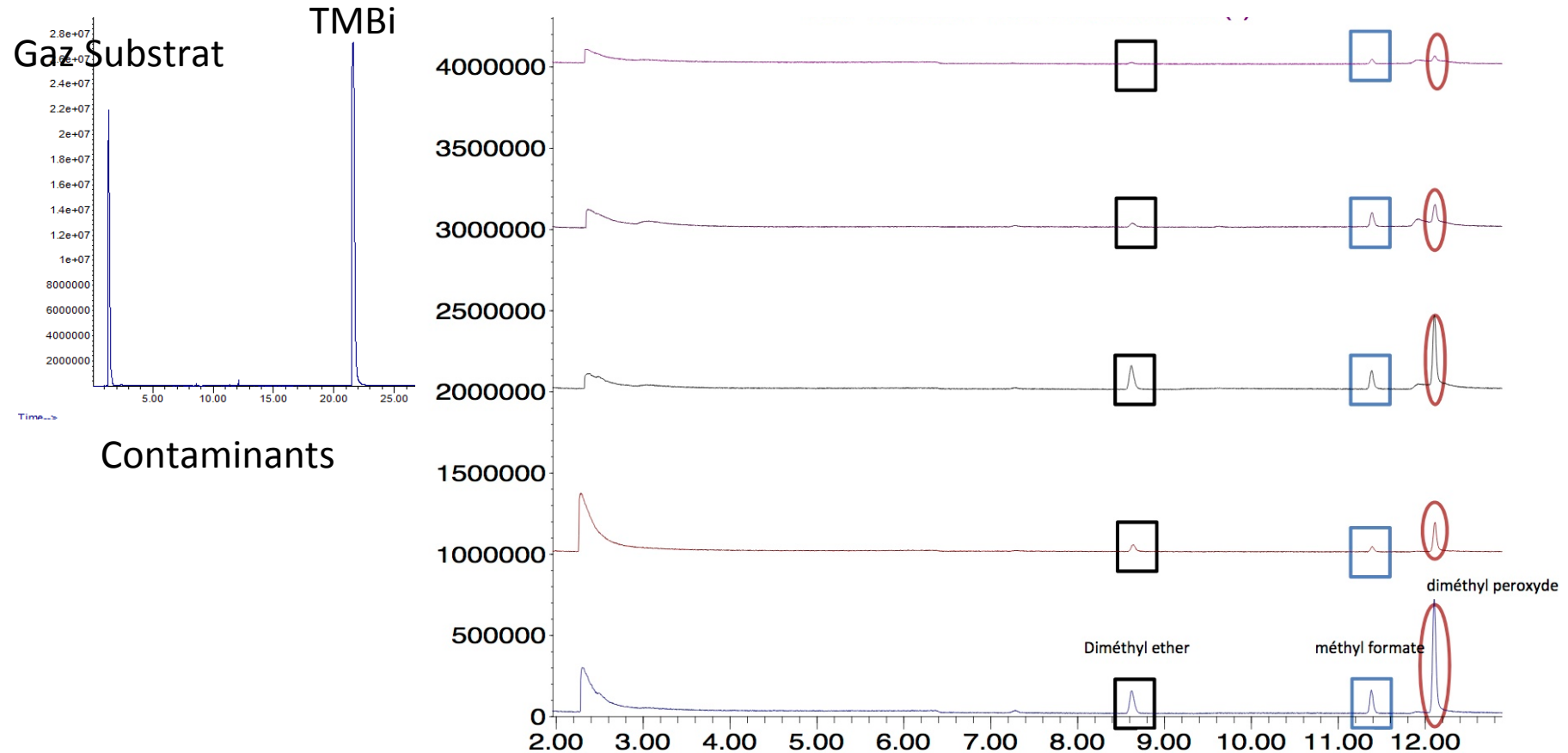


C'est ce que l'on mesure. Notre Liquide est très pur...

# Chromatographe + Spectro de Masse Gaz



# Chromatographie - GMS

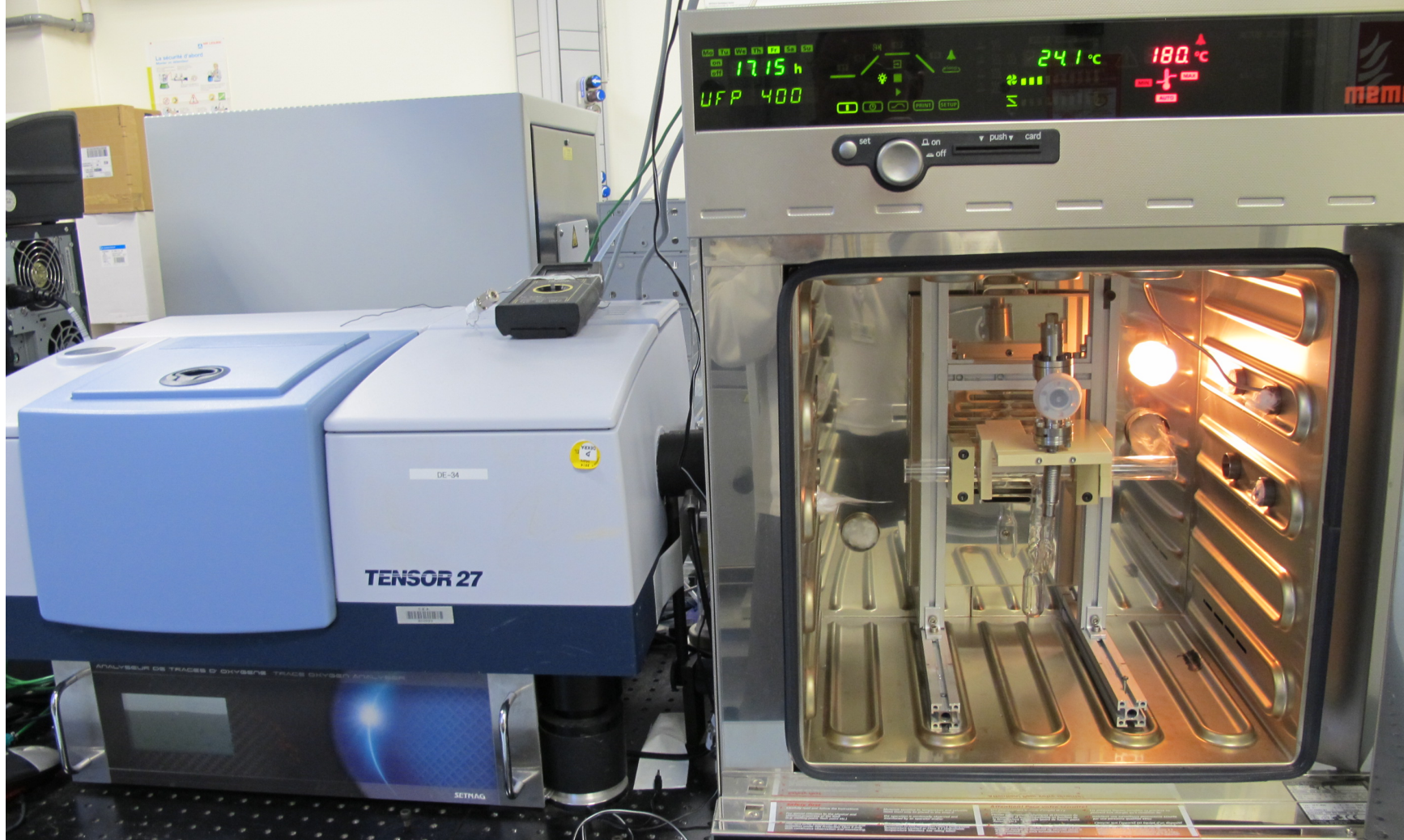


Contaminants détectés, mais .....

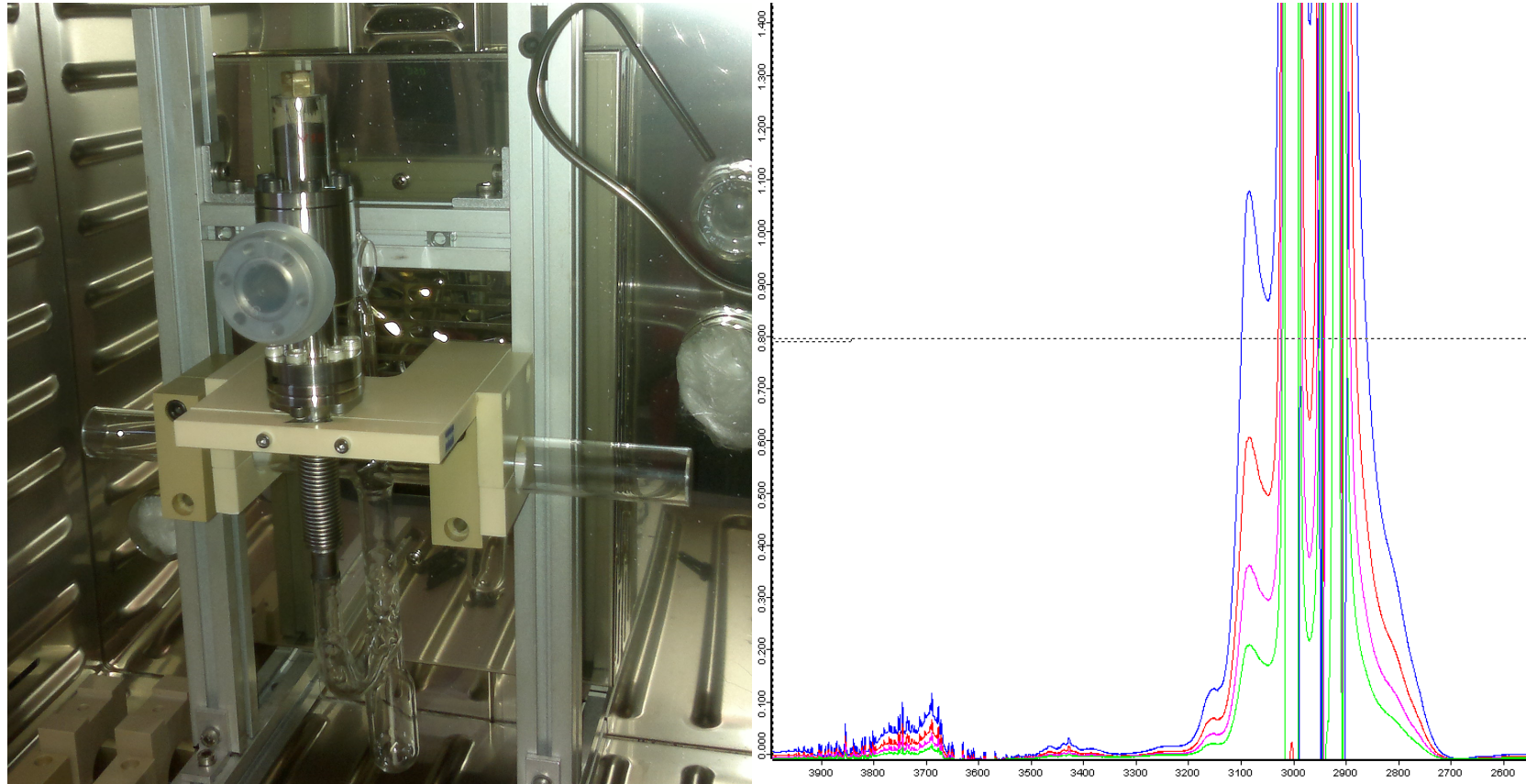
Répétition de la mesure, les pics de contaminants disparaissent

⇒ TMBi excellent nettoyant de l'appareillage de mesure

# Spectromètrie Infra-Rouge



# Mesures sur Spectromètre Infra Rouge

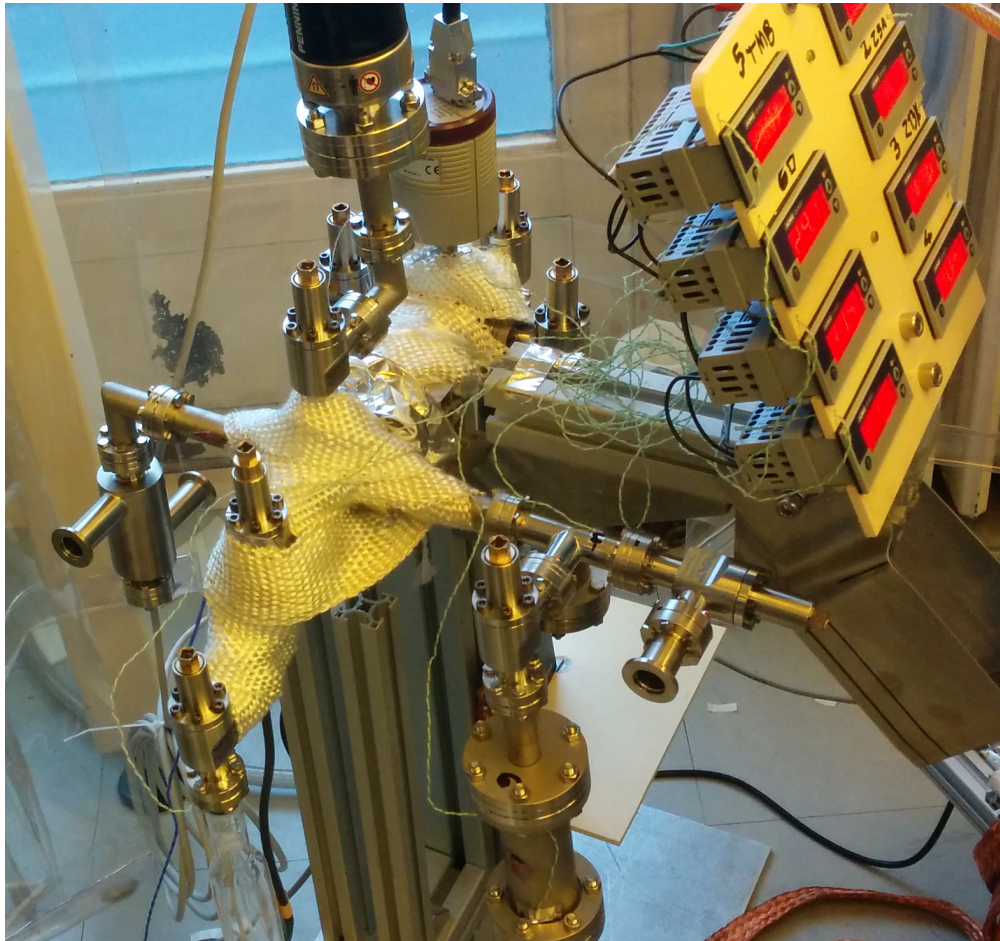


Cellule de mesure à l'intérieur de l'étuve.

Spectres de raies d'absorption

- Zone saturée correspondant au TMBi.
- Zone faible pouvant correspondre à une Contamination => A confirmer.

# Mini-Banc Ultra-Purif (Hydre)



Permet de tester plus rapidement le potentiel d'une technologie de Tamis sur le TMBi.



# Financements CaLIPSO

## Salaires Instituts

La contribution majeure.

## Investissements (sur 5 ans)

Investissements IRFU	~ 50 k€.
Prog. Trans. TechnoSanté + 18 mois de Post-Doc.	~ 60 k€
R&T CNES (Bolomètres)	~ 25 k€
DIM NeRF Ile de France	~ 200 k€
LabEx P2IO R&D	~ 40 k€
IdEx Prématuration	~ 55 k€

24 Dossiers Déposés

Instance	Date	Montant (HT)	Statut
Financement IRFU	2009	30 k€	Financement initial
DGA Proposition REI	Janv. 2010	263 k€	Refus: Guichet fermé en 2010
DIM NeRF	Avril 2010	373 k€	Accepté pour 200 k€
CNES R&T	2010	25 k€	Produit lié Olimpo
CoPil TechnoSanté 2010	Printemps 2010	~200 k€	En maturation. Trop Amont
Emergence 2010		Non déposé	Ne cadre plus avec l'appel
CoPil TechnoSanté 2011	Printemps 2011	~200 k€	En maturation. Trop Amont
LabEx IPhyMed	Hiver 2011-2012	Soutien de base	Refus
AVieSan FLI	2011	?	Accepté sans financement CaLIPSO
ANR Blanc SVSE5	2011	554.4 k€	Refus
INCa/PhysiCancer	2012	222.5 k€	Refus
LabEx P2IO	2012	100 k€	Accepté pour 40 k€
PANDORA Faisceau positrons	2012 (Europe)	~ 200 k€	Refus
INCa/PhysiCancer	2013	217 k€	Refus
TechnoSanté	2013	30 k€	Accepté
ANR Blanc SIM15	2013	507 k€	Refus
HEPTech (CERN)	2013	A négocier	En attente
ANR Santé et Bien être. CaLIPSO LS7_2	2014	520 k€	Refus
ANR Défis de tous les savoir PE2_3 + Photonis	2014	430 k€	Refus
IDex Prématuration	2014	55 k€	En cours d'Évaluation

+2 ANR et 1 ERC

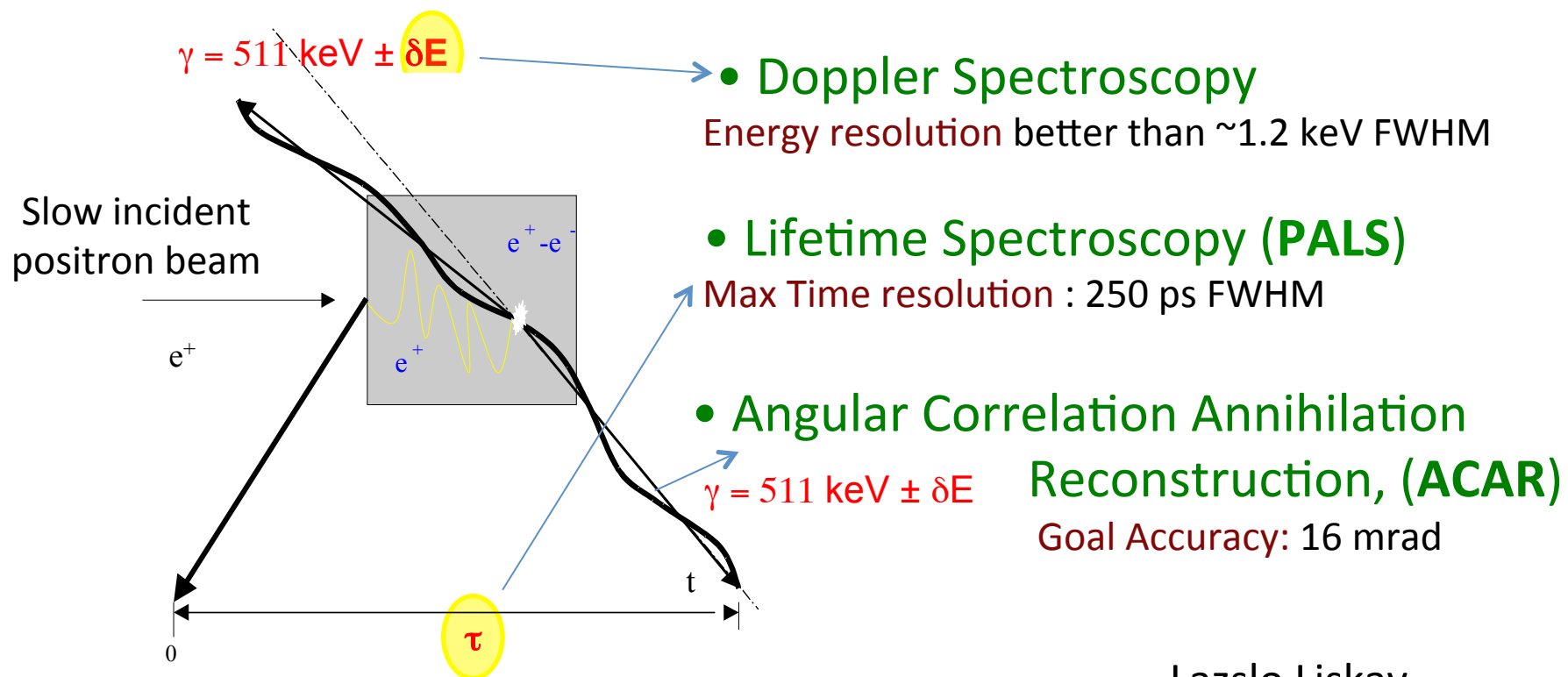
61

# Materials science analysis

## Positron Annihilation Spectroscopy

Material-specific information, **e<sup>+</sup> annihilation kinematics**

Lattice defects (vacancies, voids), Cavities (< few 10 nm range),  
Electron momentum (Fermi surface), others.....



Lazslo Liskay  
J-Michel Rey

# Positron annihilation spectroscopy

## Why CaLIPSO ?

High-resolution gamma calorimetry (ie Doppler Spectroscopy)

Technically simple - **Difficult to extract quantitative information**

Lifetime measurements (ie Lifetime Spectroscopy, PALS)

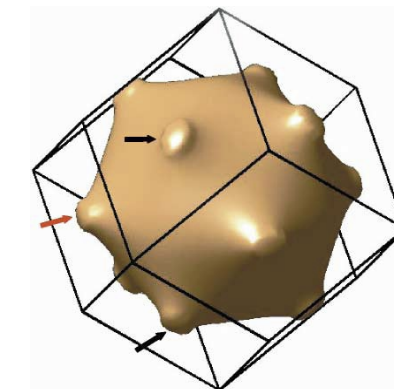
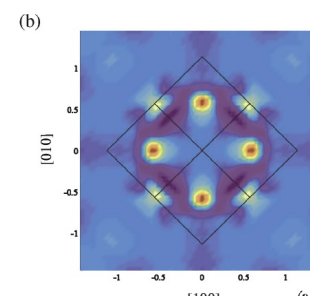
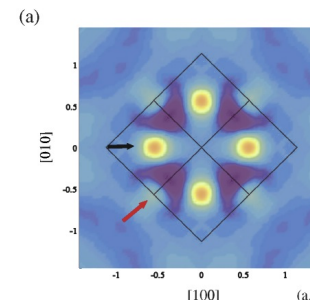
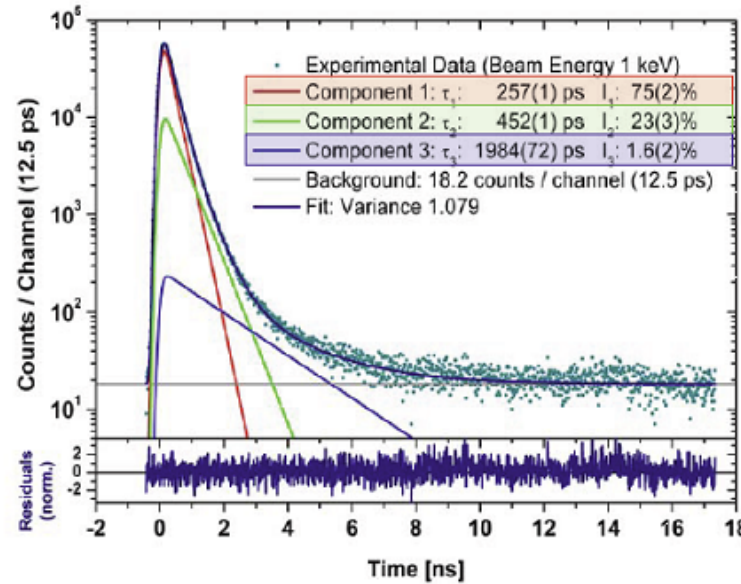
From 100 ps to 142 ns, **High Resolution/Rate.** => **Cherenkov  $\gamma$  detector**

High sensitivity – Allows defect types identification

Angular correlation of the  $\gamma$  annihilations (ACAR, 2D-ACAR)

**Requires very good position reconstruction** (=> angular resolution) => **CaLIPSO**

Information on the electron structure?

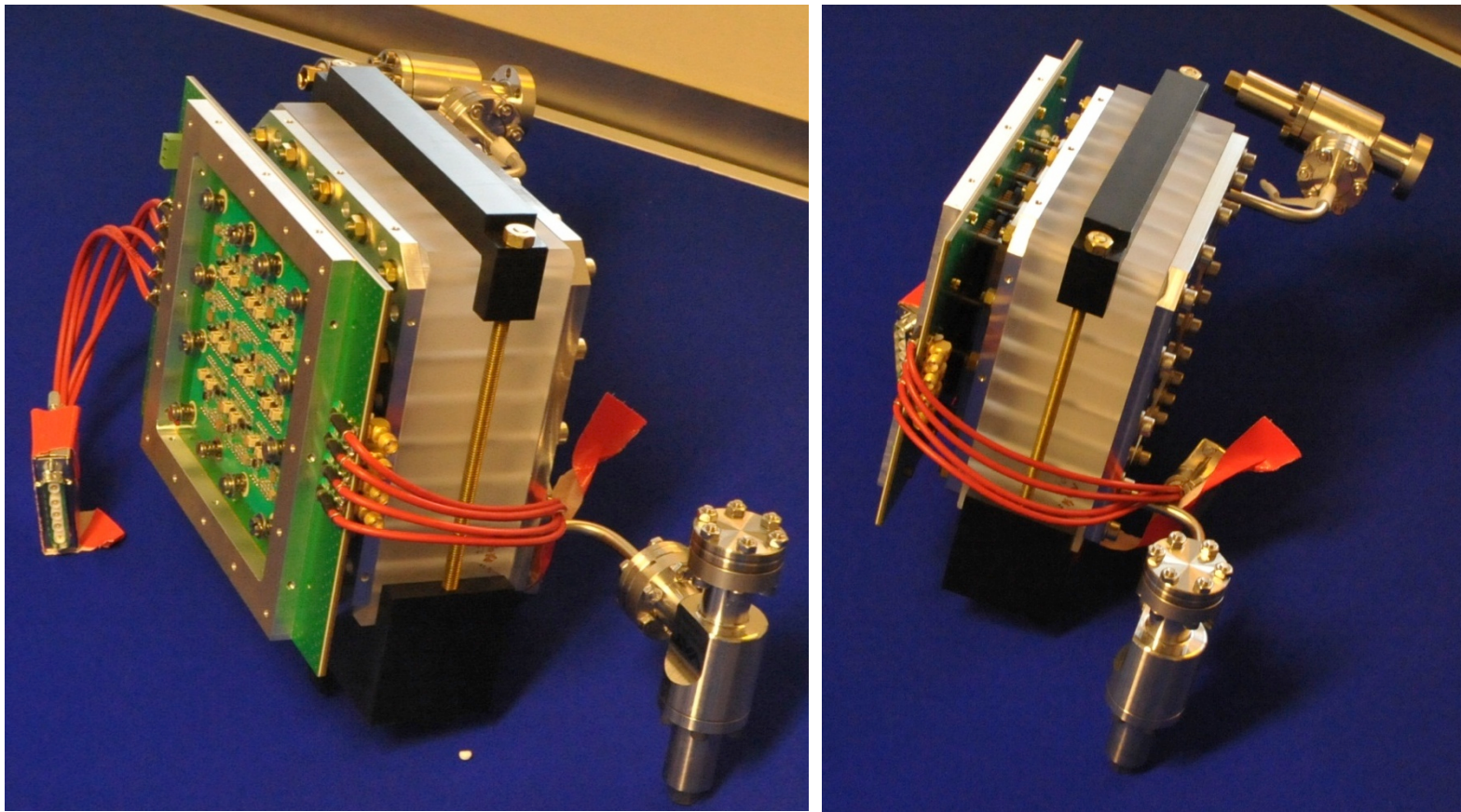


bcc Cu  
Fermi surface  
Lazslo Liskay

# Conclusions

- CaLIPSO, une rupture technologique vers des imageurs TEP haute résolution spatiale.
- Un détecteur « héritage » de la communauté des liquides chauds et du Xénon liquide.
- Une double détection: Cherenkov et chambre à ionisation.
- Trois des quatre verrous technologiques sont maintenant dépassés.
- Détection efficace de  $\gamma$  511 keV par effet Cherenkov démontrée
- Les premières impulsions lues par le détecteur de charge
- Reste l'enjeux de l'ultra-purification (et encore du travail ☺) pour aboutir.....
- Le financement de l'investissement est un enjeux en soi.

# Merci de votre écoute.



**Calorimètre Liquide Ionisation Position Scintillation Organométallique**

# Hadronthérapie, TEP « en ligne »?

Aveuglé pendant l'irradiation (qq s?).      ?Après?

Emetteur  $\beta^+$  produits en hadronthérapie:    (K. Parodi)

$6.86 \cdot 10^4$  pour  $10^6$  protons,  $6.25 \cdot 10^5$  pour  $10^6 {}^{12}\text{C}$

Isotope	demi-vie (s)	$\lambda$ (mm)	Fais. Proton Abondance (%)	Fais. ${}^{12}\text{C}$ Abondance (%)
${}^{15}\text{O}$	122	~ 2.	30	27
${}^{11}\text{C}$	1223	~ 1.2	66.6	68
${}^{10}\text{C}$	19	?	3.2	4.8

Ordre de grandeur de flux, cas  ${}^{12}\text{C}$

5 à 10 Gy, tumeur de 2 cm, ==>  $10^9 {}^{12}\text{C}$ .      (S. Jan, SHFJ)

$1.5 \cdot 10^8$   ${}^{16}\text{O}$ , en deux minutes, 1 à qq MHz => validation faisceau rapide

$4 \cdot 10^8$   ${}^{11}\text{C}$  en 40 minutes, 170 kHz => Dosimétrie tumeur à postériori

Enjeux : Efficacité, résolution spatiale

## Plus généralement: Radiologie

Tumeurs cérébrales ou autres:

Suivi post-opératoire

Recherche de métastases.

L'hyper-insulinisme du nourrisson

Diagnostique de l'épilepsie

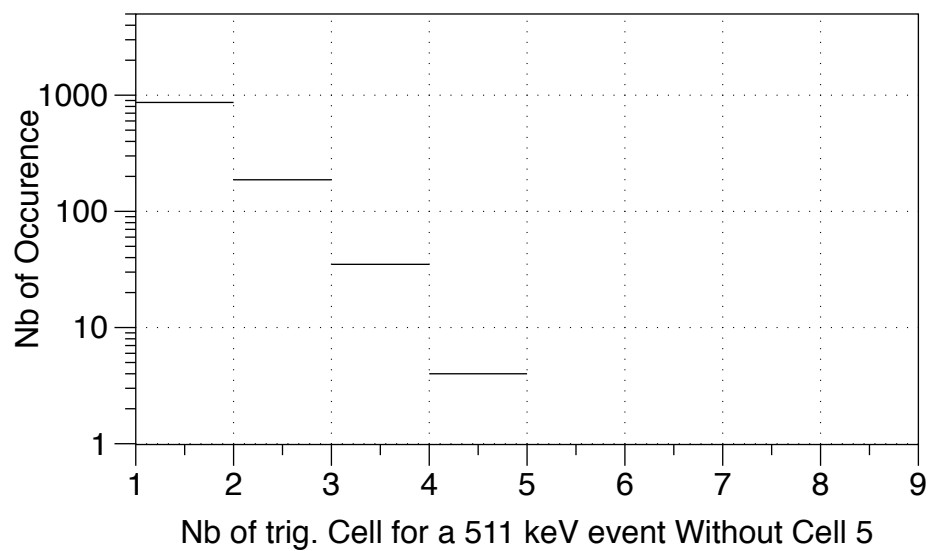
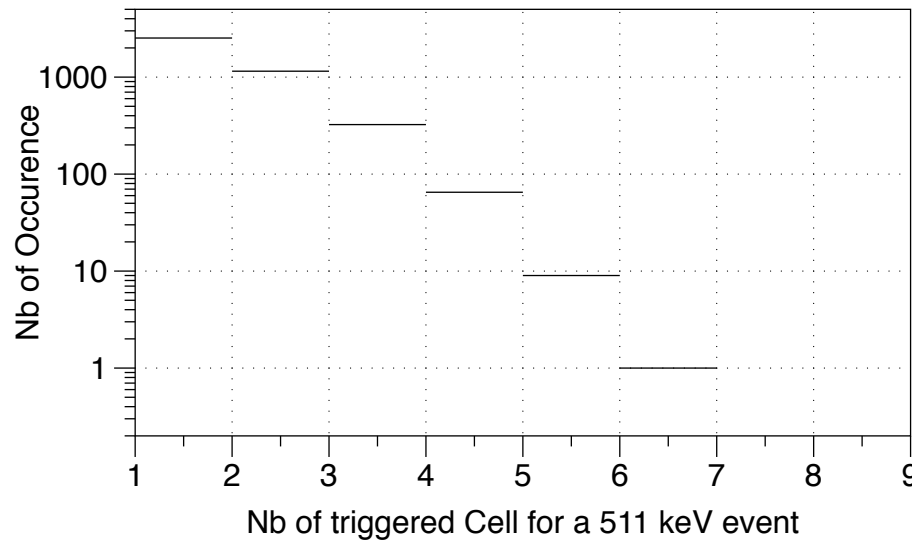
Et plus généralement des hypo-métabolismes (efficacité, résolution mm<sup>3</sup>!)

Souvent Image IRM Normale:

=> Accès à l'activité métabolique indispensable.

Prof. Boddaert (Radiologie Pédiatrique, Hopital. Necker)

# Nb of triggered cells on 511 keV Evt



Most events trigger centric Cell

Some of them trigger many cells

1/3 of them do not trigger the centric Cell

These events have lower triggered cell multiplicity.

**Light leakage** within the detector, larger than expected

But these are **true detections**